

СПб ВШЭ, 3-й курс, 4-й модуль 2018/19

Конспект лекций по алгоритмам

Собрано 13 июня 2019 г. в 13:26

Содержание

1. Действия над многочленами	1
1.1. Над \mathbb{F}_2	1
1.2. Умножение многочленов	1
2. FFT и его друзья	3
2.1. FFT	3
2.1.1. Прелюдия	3
2.1.2. Собственно идея FFT	3
2.1.3. Крутая реализация FFT	3
2.1.4. Обратное преобразование	4
2.1.5. Два в одном	5
2.1.6. Умножение чисел, оценка погрешности	5
2.2. Разделяй и властвуй	5
2.2.1. Перевод между системами счисления	5
2.2.2. Деление многочленов с остатком	6
2.2.3. Вычисление значений в произвольных точках	6
2.2.4. Интерполяция	6
2.2.5. Извлечение корня	7
2.3. Литература	7
3. Деление многочленов	7
3.1. Быстрое деление многочленов	8
3.2. (*) Быстрое деление чисел	9
3.3. (*) Быстрое извлечение корня для чисел	9
3.4. (*) Обоснование метода Ньютона	9
3.5. Линейные рекуррентные соотношения	10
3.5.1. Через матрицу в степени	10
3.5.2. Через умножение многочленов	10
4. Применение умножения многочленов	11
4.1. Факторизация целых чисел	11
4.2. CRC-32	11
4.3. Кодирование бит с одной ошибкой	11
4.4. Коды Рида-Соломона	12
4.5. Счастливые билеты	13
4.6. Литература	13
5. Автоматы	13
5.1. Определения, детерминизация	14

5.2. Эквивалентность	14
5.3. Минимизация	14
5.4. Хопкрофт за $\mathcal{O}(VE)$	15
5.5. Хопкрофт за $\mathcal{O}(E \log V)$	16
5.6. Литература	16
6. Суффиксный автомат	16
6.1. Введение, основные леммы	17
6.2. Алгоритм построения за линейное время	18
6.3. Реализация	18
6.4. Линейность размера автомата, линейность времени построения	18
7. Линейное программирование	19
7.1. Применение LP и ILP	19
7.2. Сложность задач LP и ILP	20
7.3. Геометрия и алгебра симплекс-метода	20
7.4. Литература, полезные ссылки	20
7.5. Перебор базисных планов	22
7.6. Обучение перцептрона	22
7.7. Метод эллипсоидов (Хачаян'79)	22
7.8. Литература, полезные ссылки	24
8. Паросочетание в произвольном графе	25
8.1. Полезные данные из прошлого	25
8.2. Алгоритм Эдмондса сжатия соцветий	25
8.3. Реализация за $\mathcal{O}(V^3)$	26
8.4. Красивая простая реализация Эдмондса (Габов'1976)	26
8.5. Оптимизации	27
8.6. DSU и $\mathcal{O}(VE \cdot \alpha)$	27
8.7. Реализации через <code>dfs</code>	28
8.8. Альтернативное понимание реализации	28
8.9. Литература, полезные ссылки	29
8.10. Исторический экскурс	29
9. Двойственность, целочисленность	29
9.1. Формулировка задачи	30
9.2. Доказательство сильной двойственности	30
9.3. Целочисленность решения	31
9.4. Паросочетания	31
9.5. Частные случаи ЛП	32
9.5.1. Рандомизированный алгоритм пересечения полупространств	32
9.6. Матричные игры	33
10. Факторизация	35
10.1. Метод Крайчика	35
10.2. Литература	36
11. Планарность	36

11.1. Основные определения и теоремы	37
11.2. Алгоритмы проверки на планарность	38
11.2.1. Исторический экскурс	38
11.2.2. Алгоритм Демукрона	38
11.3. Алгоритмы отрисовки графа прямыми отрезками	38
11.4. Планарный сепаратор	39
11.4.1. Решение NP-трудных задач на планарных графах	40
11.5. Системы уравнений	40
11.5.1. k -диагональная матрица	40
11.5.2. Правило Кирхгофа	40
11.6. Выделение граней плоского графа	41
11.7. Литература	41

Лекция #1: Действия над многочленами

8 апреля 2019

1.1. Над \mathbb{F}_2

Умножение/деление/gcd можно делать битовым сжатием за $\approx \frac{nm}{w}$, где w – word size.

• Хранение

$A(x) = a_0 + a_1x + \dots + a_nx^n \rightarrow N = n + 1; \text{bitset}\langle N \rangle a$

Обозначения: $n = \deg A$, $m = \deg B$, $N = \deg A + 1$, $M = \deg B + 1$.

• Умножение

```
1 for i=0..n
2   if a[i]
3     c ^= b << i
```

Время работы: $\mathcal{O}(n \cdot \lceil \frac{m}{w} \rceil)$. Можно n заменить на “число не нулей в a ”.

• Деление

```
1 for i=n..m
2   if a[i]
3     a ^= b << (i-m), c[i-m] = 1
```

Результат: в a лежит остаток, в c частное.

Время работы: $\mathcal{O}((n-m) \cdot \lceil \frac{m}{w} \rceil)$.

• gcd

Запускаем Евклида. Один шаг Евклида – деление.

За $\mathcal{O}((n-m) \cdot \lceil \frac{m}{w} \rceil)$ переходим от n к $n' < m$. Суммарное время работы $\mathcal{O}(\frac{nm}{w} + n + m)$.

1.2. Умножение многочленов

Над произвольным кольцом умеем за $\mathcal{O}(nm)$.

Точнее за “(число не нулей в a) · (число не нулей в b)”.

• Карацуба

Пусть $N = 2^k$. Если нет, дополним нулями.

Делим многочлены на две части: $A = A_0 + x^{N/2}A_1$, $B = B_0 + x^{N/2}B_1$

$$A \cdot B = A_0B_0 + x^N A_1B_1 + x^{N/2}(A_0B_1 + A_1B_0) = C_0 + x^N C_1 + x^{N/2}((A_0+B_0)(A_1+B_1) - C_0 - C_1)$$

Умножение многочленов длины N – сложение, вычитание и 3 умножения многочленов длины $\frac{N}{2}$.

$$T(n) = 3T(\frac{n}{2}) + n = \Theta(n^{\log 3})$$

Умножение работает над произвольным кольцом.

• Оптимальное над \mathbb{F}_2

У нас уже есть Карацуба и битовое сжатие. Соединим. Если внутри Карацубы реализовать сложения и вычитания за $\lceil \frac{n}{w} \rceil$, получится $T(n) = 3T(\frac{n}{2}) + \lceil \frac{n}{w} \rceil = \Theta(n^{\log 3})$. То есть, столько же.

Асимптотическая оптимизация: в рекурсии при $n \leq w$ умножить за $\mathcal{O}(n)$.

Тогда новое время работы в $w^{\log 3}/w = w^{(\log 3)-1}$ раз меньше.

- Над \mathbb{Z} , над \mathbb{R} , над \mathbb{C}

Фурье за $\mathcal{O}(n \log n)$. Смотри главу про Фурье (FFT).

- Над конечным полем

Все конечные поля изоморфны \Rightarrow умножить над $\mathbb{F}_p \Leftrightarrow$ умножить над $\mathbb{Z}/p\mathbb{Z}$.

Умножим в \mathbb{Z} , затем возьмём по модулю.

Лекция #2: FFT и его друзья

5 сентября

2.1. FFT

2.1.1. Прелюдия

Пусть есть многочлены $A(x) = \sum a_i x^i$ и $B(x) = \sum b_i x^i$.

Посчитаем их значения в точках x_1, x_2, \dots, x_n : $A(x_i) = f a_i, B(x_i) = f b_i$.

Значения $C(x) = A(x)B(x)$ в точках x_i можно получить за линейное время:

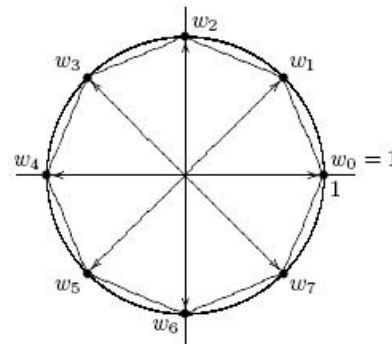
$$f c_i = C(x_i) = A(x_i)B(x_i) = f a_i f b_i$$

Схема быстрого умножения многочленов:

$$a_i, b_i \xrightarrow{\mathcal{O}(n \log n)} f a_i, f b_i \xrightarrow{\mathcal{O}(n)} f c_i = f a_i f b_i \xrightarrow{\mathcal{O}(n \log n)} c_i$$

Осталось подобрать правильные точки x_i .

FFT расшифровывается Fast Fourier Transform и за $\mathcal{O}(n \log n)$ вычисляет значения многочлена в точках $w_j = e^{\frac{2\pi i j}{n}}$ для $n = 2^k$ (то есть, только для степеней двойки).



2.1.2. Собственно идея FFT

$A(x) = \sum a_i x^i = (a_0 + x^2 a_2 + x^4 a_4 + \dots) + x(a_1 x + a_3 x^3 + a_5 x^5 + \dots) = B(x^2) + xC(x^2)$ — обозначили все чётные коэффициенты многочлена A многочленом B , а нечётные соответственно C .

Заметим, что $\forall j \ w_j = w_{j \bmod n} \Rightarrow \forall j \ w_j^2 = w_{n/2+j}^2 \Rightarrow B$ и C нужно считать только в $\frac{n}{2}$ точках.

Итого алгоритм:

```

1 def FFT(a):
2     n = len(a)
3     if n == 1: return a[0] # посчитать значение многочлена A(x) ≡ a[0] в x = 1
4     for j=0..n-1: b[j % 2][j / 2] = a[j]
5     b[0], b[1] = FFT(b[0]), FFT(b[1])
6     w = exp(2*pi*i/n)
7     for j=0..n-1: a[j] = b[0][j % (n/2)] + exp(2*pi*i*j/n) * b[1][j % (n/2)]
8     return a

```

Время работы $T(n) = 2T(n/2) + \mathcal{O}(n) = \mathcal{O}(n \log n)$.

2.1.3. Крутая реализация FFT

Чтобы преобразование работало быстро, нужно заранее предподсчитать все $w_j = e^{\frac{2\pi i j}{n}}$.

Заметим, что b и c можно хранить прямо в массиве a . Тогда получается, что на прямом ходу рекурсии мы просто переставляем местами элементы a , а уже на обратном делаем какие-то

полезные действия. Число a_i перейдёт на позицию $a_{rev(i)}$, где $rev(i)$ – перевёрнутая битовая запись i . Кстати, $rev(i)$ мы уже умеем считать динамически для всех i .

При реализации на C++ можно использовать стандартные комплексные числа `complex<double>`.

```

1 const int K = 20, N = 1 << K; // N - ограничение на длину результата умножения многочленов
2 complex<double> root[N];
3 int rev[N];
4 void init() {
5     for (int j = 0; j < N; j++) {
6         root[j] = exp(2*pi*j/N); // cos(2*pi*j/N), sin(2*pi*j/N)
7         rev[j] = rev[j >> 1] + ((j & 1) << (K - 1));
8     }
9 }

```

Теперь, корни из единицы степени k хранятся в `root[j*N/k]`, $j \in [0, k)$.

Доступ к памяти при этом не последовательный, проблемы с кешом.

Чтобы посчитать все корни, мы $2N$ раз вычисляли тригонометрические функции.

• Улучшенная версия вычисления корней

```

1 for (int k = 1; k < N; k *= 2) {
2     num tmp = exp(pi/k);
3     root[k] = {1, 0}; // в root[k..2k) хранятся первые k корней степени 2k
4     for (int i = 1; i < k; i++)
5         root[k + i] = (i & 1) ? root[(k + i) >> 1] * tmp : root[(k + i) >> 1];
6 }

```

Теперь код собственно преобразования Фурье может выглядеть так:

```

1 FFT(a) { // a → f
2     vector<complex> f(N);
3     for (int i = 0; i < N; i++) // прямой ход рекурсии превратился в один for =)
4         f[rev[i]] = a[i];
5     for (int k = 1; k < N; k *= 2) // пусть уже посчитаны FFT от кусков длины k
6         for (int i = 0; i < N; i += 2 * k) // [i..i+k) [i+k..i+2k) → [i..i+2k)
7             for (int j = 0; j < k; j++) { // оптимально написанный главный цикл FFT
8                 num tmp = root[k + j] * f[i + j + k]; // root[] из "улучшенной версии"
9                 f[i + j + k] = f[i + j] - tmp; // w_{j+k} = -w_j при n = 2k
10                f[i + j] = f[i + j] + tmp;
11            }
12     return f;
13 }

```

2.1.4. Обратное преобразование

Обозначим $w = e^{2\pi i/n}$. Нам нужно из

$$f_0 = a_0 + a_1 + a_2 + a_3 + \dots$$

$$f_1 = a_0 + a_1 w + a_2 w^2 + a_3 w^3 + \dots$$

$$f_2 = a_0 + a_1 w^2 + a_2 w^4 + a_3 w^3 + \dots$$

научиться восстанавливать коэффициенты a_0, a_1, a_2, \dots

Заметим, что $\forall j \neq 0 \sum_{k=0}^{n-1} w^{jk} = 0$ (сумма геометрической прогрессии).

И напротив при $j = 0$ получаем $\sum_{k=0}^{n-1} w^{jk} = \sum 1 = n$.

Поэтому $f_0 + f_1 + f_2 + \dots = a_0 n + a_1 \sum_k w^k + a_2 \sum_k w^{2k} + \dots = a_0 n$

Аналогично $f_0 + f_1 w^{-1} + f_2 w^{-2} + \dots = \sum_k a_0 w^{-k} + a_1 n + a_2 \sum_k w^k + \dots = a_1 n$

И в общем случае $\sum_k f_k w^{-jk} = a_j n$

Рассмотрим $F(x) = f_0 + x f_1 + x^2 f_2 + \dots \Rightarrow F(w^{-j}) = a_j n$, похоже на $\text{FFT}(f)$.

Осталось заметить, что множества чисел $\{w_j \mid j = 0..n-1\}$ и $\{w_{-j} \mid j = 0..n-1\}$ совпадают \Rightarrow

```

1 FFT_inverse(f) { // f → a
2   a = FFT(f)
3   reverse(a + 1, a + N) // w^j ↔ w^{-j}
4   for (int i = 0; i < N; i++) a[i] /= N;
5   return a;
6 }
```

2.1.5. Два в одном

Часто коэффициенты многочленов – вещественные числа.

Если у нас есть многочлены $A(x), B(x) \in \mathbb{R}[x]$, возьмём числа $c_j = a_j + ib_j$, коэффициенты $C(x) = A(x) + iB(x)$, посчитаем $fc = \text{FFT}(c)$. Тогда по f за $\mathcal{O}(n)$ можно восстановить fa и fb .

Для этого вспомним про сопряжения комплексных чисел:

$\overline{x + iy} = x - iy$, $\overline{u \cdot v} = \overline{u} \cdot \overline{v}$, $w^{n-j} = w^{-j} = \overline{w^j} \Rightarrow \overline{fc_{n-j}} = \overline{C(w^{n-j})} = \overline{C(w^j)} = A(w^j) - iB(w^j) \Rightarrow fc_j + \overline{fc_{n-j}} = 2A(w^j) = 2 \cdot fa_j$. Аналогично $fc_j - \overline{fc_{n-j}} = 2B(w^j) = 2i \cdot fb_j$.

Итого для умножения двух многочленов можно использовать не 3 преобразования Фурье, а 2.

2.1.6. Умножение чисел, оценка погрешности

Число длины n в системе счисления $10 \rightarrow$ система счисления $10^k \rightarrow$ многочлен длины n/k . Умножения многочленов такой длины будет работать за $\frac{n}{k} \log \frac{n}{k}$.

Отсюда возникает вопрос, какое максимальное k можно использовать?

Коэффициенты многочлена-произведения будут целыми числами до $(10^k)^2 \cdot \frac{n}{k}$.

Чтобы в типе `double` целое число хранилось с погрешностью меньше 0.5 (тогда мы его сможем правильно округлить к целому), оно должно быть не более 10^{15} .

Получаем при $n \leq 10^6$, что $(10^k)^2 \cdot 10^6/k \leq 10^{15} \Rightarrow k \leq 4$.

Аналогично для типа `long double` имеем $(10^k)^2 \cdot 10^6/k \leq 10^{18} \Rightarrow k \leq 6$.

Это оценка сверху, предполагающая, что само FFT погрешность не накапливает... на самом деле эта оценка очень близка к точной.

2.2. Разделяй и властвуй

2.2.1. Перевод между системами счисления

Задача: перевести число X длины $n = 2^k$ из a -ичной системы счисления в b -ичную.

Разобьём число X на $\frac{n}{2}$ старших цифр и $\frac{n}{2}$ младших цифр: $X = X_0 \cdot a^{n/2} + X_1 \Rightarrow$

$$F(X) = F(X_0)F(a^{n/2}) + F(X_1)$$

Умножение за $\mathcal{O}(n \log n)$ и сложение за $\mathcal{O}(n)$ выполняются в системе счисления b .

Предподсчёт $F(a^1), F(a^2), F(a^4), F(a^8), \dots, F(a^n)$ займёт $\sum_k \mathcal{O}(2^k k) = \mathcal{O}(n \log n)$ времени.

Итого $T(n) = 2T(n/2) + \mathcal{O}(n \log n) = \mathcal{O}(n \log^2 n)$.

2.2.2. Деление многочленов с остатком

Задача: даны $A(x), B(x) \in \mathbb{R}[x]$, найти $Q(x), R(x)$: $\deg R < \deg B \wedge A(x) = B(x)Q(x) + R(x)$.

Зная Q мы легко найдём R , как $A(x) - B(x)Q(x)$ за $\mathcal{O}(n \log n)$. Сосредоточимся на поиске Q .

Пусть $\deg A = \deg B = n$, тогда $Q(x) = \frac{a_n}{b_n}$. То есть, $Q(x)$ можно найти за $\mathcal{O}(1)$.

Из этого мы делаем вывод, что Q зависит не обязательно от всех коэффициентов A и B .

Lm 2.2.1. $\deg A = m, \deg B = n \Rightarrow \deg Q = m - n$, и Q зависит только от $m - n + 1$ коэффициентов A и $m - n + 1$ коэффициентов B .

Доказательство. У A и $B \cdot Q$ должны совпадать $m - n + 1$ старший коэффициент ($\deg R < n$). В этом сравнении участвуют только $m - n + 1$ старших коэффициентов A . При домножении B на $x^{\deg Q}$, сравнятся как раз $m - n + 1$ старших коэффициентов A и B . При домножении B на меньшие степени x , в сравнении будут участвовать лишь какие-то первые из этих $m - n + 1$ коэффициентов. ■

Теперь будем решать задачу: даны n старших коэффициентов A и B , найти такой C из n коэффициентов, что у A и BC совпадают n старших коэффициентов. Давайте считать, что младшие коэффициенты лежат в первых ячейках массива.

```

1 Div(int n, int *A, int *B)
2   C = Div(n/2, A + n/2, B + n/2) // нашли старших n/2 коэффициентов ответа
3   A' = Subtract(n, A, n + n/2 - 1, Multiply(C, B))
4   D = Div(n/2, A', B + n/2) // сейчас A' состоит из n/2 не нулей и n/2 нулей
5   return concatenate(D, C) // склеили массивы коэффициентов

```

Здесь `Subtract` – хитрая функция. Она знает длины многочленов, которые ей передали, и сдвигает вычитаемый многочлен так, чтобы старшие коэффициенты совместились.

2.2.3. Вычисление значений в произвольных точках

Задача. Дан многочлен $A(x)$, $\deg A = n$ и точки x_1, x_2, \dots, x_n . Найти $A(x_1), A(x_2), \dots, A(x_n)$.

Вспомним теорему Безу: $A(w) = A(x) \bmod (x - w)$.

Обобщение: $B(x) = A(x) \bmod (x - x_1)(x - x_2) \dots (x - x_n) \Rightarrow \forall j B(x_j) = A(x_j)$

```

1 def Evaluate(n, A, x[]): # n = 2^k
2   if n == 1: return list(A[0])
3   return Evaluate(n/2, A mod (x - x_1) * ... * (x - x_{n/2}), [x_1, ..., x_{n/2}]) +
4     Evaluate(n/2, A mod (x - x_{n/2+1}) * ... * (x - x_n), [x_{n/2+1}, ..., x_n])

```

Итого $T(n) = 2T(n/2) + \mathcal{O}(\text{div}(n))$. Если деление реализовано за $\mathcal{O}(n \log n)$, получим $\mathcal{O}(n \log^2 n)$.

2.2.4. Интерполяция

Задача. Даны пары $(x_1, y_1), \dots, (x_n, y_n)$. Найти многочлен A : $\deg A = n - 1, \forall i A(x_i) = y_i$.

Сделаем интерполяцию по Ньютону методом разделяй и властвуй.

Сперва найдём интерполяционный многочлен B для $(x_1, y_1), (x_2, y_2), \dots, (x_{n/2}, y_{n/2})$.

$$A = B + C \cdot D, \text{ где } D = \prod_{j=1..n/2} (x - x_j), \text{ а } C \text{ нужно найти}$$

Подгоним правильные значения в точках $x_{n/2+1}, \dots, x_n$, вычислим b_j, d_j – значения B и D в точках $x_{n/2+1}, \dots, x_n \Rightarrow C$ – интерполяционный многочлен точек $(x_j, -\frac{b_j}{d_j})$ при $j = \frac{n}{2}+1 \dots n$.

Итого $T(n) = 2T(n/2) + 2\mathcal{O}(\text{evaluate}(n/2))$. При $\text{evaluate}(n) = \mathcal{O}(n \log^2 n)$ имеем $\mathcal{O}(n \log^3 n)$.

2.2.5. Извлечение корня

Дан многочлен $A(x)$: $\deg A \equiv 0 \pmod 2$. Задача – найти $R(x)$: $\deg(A - R^2)$ минимальна.

Пусть мы уже нашли старшие k коэффициентов R , обозначим их R_k . Найдём $2k$ коэфф-тов: $R_{2k} = R_k x^k + X, R_{2k}^2 = R_k^2 x^{2k} + 2R_k X \cdot x^k + X^2$. Правильно подобрав X , мы можем “обнулить” k коэффициентов $A - R_{2k}^2$, для этого возьмём $X = (A - R_k^2 x^{2k}) / (2R_k)$. В этом частном нам интересны только k старших коэффициентов, поэтому переход от R_k к R_{2k} происходит за $\mathcal{O}(\text{mul}(k) + \text{div}(k))$. Итого суммарное время на извлечение корня – $\mathcal{O}(\text{div}(n))$.

2.3. Литература

[[sankowski](#)]. Слайды по FFT и всем идеям разделяй и властвуй.

[[e-maxx](#)]. Про FFT и оптимизации к нему.

[[codeforces](#)]. Задачи на тему FFT.

[[vk](#)]. Краткий конспект похожих идей от Александра Кулькова.

Лекция #3: Деление многочленов

12 сентября

3.1. Быстрое деление многочленов

Цель – научиться делить многочлены за $\mathcal{O}(n \log n)$.

Очень хочется считать частное многочленов $A(x)/B(x)$, как $A(x)B^{-1}(x)$. К сожалению, у многочленов нет обратных. Зато обратные есть у рядов, научимся сперва искать их.

• Обращение ряда

Задача. Дан ряд $A \in [[\mathbb{R}]]$, $a_0 \neq 0$. Найти ряд B : $A(x)B(x) = 1$.

Первые n коэффициентов B можно найти за $\mathcal{O}(n^2)$:

$$b_0 = 1/a_0$$

$$b_1 = -(a_1 b_0)/a_0$$

$$b_2 = -(a_2 b_0 + a_1 b_1)/a_0$$

...

A можно за $\mathcal{O}(n \log n)$.

Обозначим $B_k(x) = b_0 + b_1 x + \dots + b_{k-1} x^{k-1}$. Заметим, что $\forall k \ A(x)B_k(x) = 1 + x^k C_k(x)$.

$B_1 = b_0 = 1/a_0$. Научимся делать переход $B_k \rightarrow B_{2k}$ за $\mathcal{O}(k \log k)$.

$$B_{2k} = B_k + x^k Z \Rightarrow A \cdot B_{2k} = 1 + x^k C_k + x^k A \cdot Z = 1 + x^k (C_k + A \cdot Z).$$

$$\text{Выберем } Z = B_k \cdot C_k \Rightarrow C_k + A \cdot Z = C_k + C_k(A \cdot B_k) = C_k + C_k(1 + x^k C_k) = -x^k C_k^2.$$

$$\text{Итого } B_{2k} = B_k + B_k(x^k C_k) = B_k + B_k(1 + x^k C_k) \Rightarrow B_{2k} = B_k(2 + x^k C_k)$$

Два умножения = $\mathcal{O}(k \log k)$. Общее время работы $n \log n + \frac{n}{2} \log \frac{n}{2} + \frac{n}{4} \log \frac{n}{4} + \dots = \mathcal{O}(n \log n)$.

Конечно, мы обрежем B_{2k} , оставив лишь $2k$ первых членов.

• Деление многочленов

A^R – reverse многочлена. $a_0 + a_1 x + \dots + a_n x^n \rightarrow a_n + a_{n-1} x + \dots + a_0 x^n$.

Умножение: $A^R B^R = (AB)^R$ (доказательство: в $c_{ij} = a_i b_j$ поменяли индексы на $n-i$ и $m-j$).

Новое определение деления: по A, B хотим C : $A^R \equiv (BC)^R \pmod{x^n}$.

Здесь n – число коэффициентов у A , у B ровно столько же.

Обращение ряда нам даёт умение по многочлену Z : $z_0 \neq 0$ строить Z^{-1} : $Z \cdot Z^{-1} \equiv 1 \pmod{x^n}$.

$$C^R = (B^R)^{-1} A^R$$

Время работы: обращение ряда + умножение = $\mathcal{O}(n \log n)$.

Над кольцом делить странно, а вот над произвольным полем Фурье может не работать, тогда деление работает за $\mathcal{O}(\text{mul}(n) + \text{mul}(\frac{n}{2}) + \dots) = \mathcal{O}(\text{mul}(n))$ для $\text{mul}(n) = \Omega(n)$.

3.2. (*) Быстрое деление чисел

Для нахождения частного чисел, достаточно научиться с большой точностью считать обратно. Рассмотрим метод Ньютона поиска корня функции $f(x)$:

x_0 = достаточно точное приближение корня

$$x_{i+1} = x_i - f(x_i)/f'(x_i)$$

Решим с помощью него уравнение $f(x) = x^{-1} - a = 0$.

x_0 = обратное к старшей цифре a

$$x_{i+1} = x_i - (\frac{1}{x_i} - a)/(-\frac{1}{x_i^2}) = x_i + (x_i - a \cdot x_i^2) = x_i(2 - ax_i).$$

Любопытно, что очень похожую формулу мы видели при обращении формального ряда...

Утверждение: каждый шаг метода Ньютона удваивает число точных знаков x .

Итого, имея x_i с k точными знаками, мы научились за $\mathcal{O}(k \log k)$ получать x_{i+1} с $2k$ точными знаками. Суммарное время получения n точных знаков $\mathcal{O}(n \log n)$.

3.3. (*) Быстрое извлечение корня для чисел

Продолжаем пользоваться методом Ньютона.

$$x_{i+1} = \frac{1}{2}(x_i + \frac{a}{x_i})$$

Если у x_i k_i верных знаков, то $k_{i+1} = k_i + \Theta(1)$, а

$x_i \rightarrow x_{i+1}$ вычисляется одним делением многочленов длины k_i за $\mathcal{O}(k_i \log k_i)$.

3.4. (*) Обоснование метода Ньютона

Цель: доказать, что каждый шаг удваивает число точных знаков x .

Сделаем замену переменных, чтобы было верно $f(0) = 0 \Rightarrow$ корень, который мы ищем, -0 .

Сейчас находимся в точке x_i . По Тейлору $f(0) = f(x_i) - x_i f'(x_i) + x_i^2 f''(\alpha)$ ($\alpha \in [0..x_i]$).

Получаем $\frac{f(x_i)}{f'(x_i)} = x_i + x_i^2 \frac{f''(\alpha)}{f'(x_i)}$. Передаём Ньютону $x_{i+1} = x_i - \frac{f(x_i)}{f'(x_i)} = x_i - x_i - x_i^2 \frac{f''(\alpha)}{f'(x_i)}$.

Величина $\frac{f''(\alpha)}{f'(x_i)}$ ограничена сверху константой C .

Получаем, что если $x_i \leq 2^{-n}$, то $x_{i+1} \leq 2^{-2n+\log C}$.

То есть, число верных знаков почти удваивается.

3.5. Линейные рекуррентные соотношения

Задача. Дана последовательность $f_0, f_1, \dots, f_{k-1}, \forall n \geq k \ f_n = f_{n-1}a_1 + \dots + f_{n-k}a_k$, найти f_n .

Вычисления “в лоб” можно произвести за $\mathcal{O}(nk)$.

3.5.1. Через матрицу в степени

$$A = \begin{bmatrix} a_1 & a_2 & \dots & a_k \\ 1 & 0 & \dots & 0 \\ 0 & 1 & \dots & 0 \\ \dots & \dots & \dots & \dots \end{bmatrix}, \quad \forall i \ A \cdot \begin{bmatrix} f_{i-1} \\ f_{i-2} \\ \dots \\ f_{i-k} \end{bmatrix} = \begin{bmatrix} f_i \\ f_{i-1} \\ \dots \\ f_{i-k+1} \end{bmatrix} \Rightarrow A^n \cdot \begin{bmatrix} f_{k-1} \\ f_{k-2} \\ \dots \\ f_0 \end{bmatrix} = \begin{bmatrix} f_{n+k-1} \\ f_{n+k-2} \\ \dots \\ f_n \end{bmatrix}$$

Умножать матрицы умножаем за $\mathcal{O}(k^3) \Rightarrow$ общее время работы $\mathcal{O}(k^3 \log n)$.

3.5.2. Через умножение многочленов

На самом деле можно возводить в степень не матрицу, а многочлен по модулю...

Умножение матриц за $\mathcal{O}(k^3)$ заменяется на умножение многочленов по модулю за $\mathcal{O}(k \log k)$.

Будем выражать f_n через $f_i: i < n$. В каждый момент времени $f_n = \sum_j f_j b_j$.

Изначально $f_n = f_n \cdot 1$. Пока $\exists j \geq k: b_j \neq 0$, меняем $f_j b_j$ на $\left(\sum_{i=1}^k f_{j-i} a_i\right) \cdot b_j$. (*)

Посмотрим, как меняются коэффициенты b_j . Пусть $B(x) = \sum b_j x^j$, $A(x) = x^k - \sum_{i=1}^k x^{k-i} a_i$.

Тогда (*) – переход от $B(x)$ к $B(x) - A(x)x^{j-k}b_j$.

Изначально $B(x) = x^n \Rightarrow$ наш алгоритм – вычисление $x^n \bmod A(x)$.

Возведение многочлена x в степень n по модулю $A(x) - \mathcal{O}(\log n)$ умножений и взятий по модулю.

Итого: $\mathcal{O}(k \log k \log n)$.

Лекция #4: Применение умножения многочленов

8 апреля 2019

4.1. Факторизация целых чисел

• Вычисление $n! \bmod m$

Возьмём $k = \lfloor \sqrt{n} \rfloor$, рассмотрим $P(x) = x(x+k)(x+2k)\dots(x+k(k-1))$.

$P(1)P(2)P(3)\dots P(k) = (k^2)!$, чтобы дополнить до $n!$, сделаем руками $\mathcal{O}(k)$ умножений.

Посчитать $P(x)$ мы можем методом разделяй и властвуй за $\mathcal{O}(k \log^2 k)$.

• FFT над $\mathbb{Z}/m\mathbb{Z}$

Умножим в \mathbb{Z} (то же, что \mathbb{R} , что \mathbb{C}), в конце возьмём по модулю m .

Если не хватает точности обычного вещественного типа ($m = 10^9 \Rightarrow \text{long double}$ уже слишком мал), то представим многочлен с коэффициентами до m , как сумму двух многочленов с коэффициентами до $k = \lceil m^{1/2} \rceil$: $P(x) = P_1(x) + k \cdot P_2(x)$, $Q(x) = Q_1(x) + k \cdot Q_2(x)$.

Сделаем 3 умножения, как в Карацубе:

$$P(x)Q(x) = P_1Q_1 + k^2P_2Q_2 + k((P_1+Q_1) \cdot (P_2+Q_2) - P_1Q_1 - P_2Q_2)$$

• Факторизация

Найдём $\min d: \gcd(d!, n) \neq 1$. Тогда d – минимальный делитель n . Можно искать бинарным поиском, можно “двоичными подъёмами”, тогда время = $\mathcal{O}(\text{calc}(n^{1/2!})) = \mathcal{O}(n^{1/4} \log^2 n)$.

4.2. CRC-32

Один из вариантов хеширования последовательности бит a_0, a_1, \dots, a_{n-1} – взять остаток от деления многочлена $A(x) \cdot x^k$ на $G(x)$, где $G(x)$ – специальный многочлен, а $k = \deg G + 1$.

В *CRC-32-IEEE-802.3* (в v.42, mpeg-2, png, cksum) $k = 32$, $G(x) = 0xEDB88320$ (32 бита).

Если размер машинного слова $\geq k$, CRC вычисляется за $\mathcal{O}(n)$, в общем случае за $\mathcal{O}(n \cdot \lceil \frac{k}{w} \rceil)$.

```
1 for i = n-1..k:
2   if a[i] != 0:
3     a[i..i-k+1] ^= G
```

Упражнение 4.2.1. $\text{CRC}(A \oplus B) = \text{CRC}(A) \oplus \text{CRC}(B)$, $\text{CRC}(\text{concat}(A, 1)) = (\text{CRC}(A) \cdot 2 + 1) \bmod G$

4.3. Кодирование бит с одной ошибкой

Контекст. По каналу хотим передать n бит.

В канале может произойти не более 1 ошибки вида “замена бита”.

Детектирование ошибки. Передадим a_1, a_2, \dots, a_n и $b = \text{XOR}(a_1, a_2, \dots, a_n)$.

Если b' равно $\text{XOR}(a'_1, a'_2, \dots, a'_n)$, ошибки при передаче не было.

Исправление ошибки.

Удвоение бит не работает – и из 0, и из 1 в результате одной ошибки может получиться 01.

Работает утроение бит ($3n$) или “удвоение бит и дополнительно передать XOR” ($2n+1$).

Раскодирование для $2n+1$: $00 \rightarrow 0$, $11 \rightarrow 1$, $01/10 \Rightarrow$ подгоняем, чтобы сошёлся XOR.

Исправление ошибки за $\lceil \log_2 n \rceil + 1$ дополнительных бит.

Передадим два раза $\text{XOR}(a_1, a_2, \dots, a_n)$. Теперь мы знаем, есть ли ошибка среди a_1, a_2, \dots, a_n .

Если ошибка есть, её нужно исправить. $\forall b \in [0, \lceil \log_2 n \rceil)$ передадим $\text{XOR}_{i: \text{bit}(i,b)=0}(a_i)$.

В итоге мы знаем все $\lceil \log_2 n \rceil$ бит позиции ошибки.

4.4. Коды Рида-Соломона

Задача. Кодировать n элементов конечного поля \mathbb{F}_q .

Канал допускает k ошибок. Хотим научиться исправлять ошибки после передачи.

Замечание 4.4.1. Конечные поля имеют размер p^k ($p \in \text{Prime}, k \in \mathbb{N}$). Поле размера $p - \mathbb{Z}/p\mathbb{Z}$.

Поле размера p^k – остатки по модулю неприводимого многочлена над \mathbb{F}_p степени k .

Для кодирования битовых строк удобно использовать $q = 2^k$ при $k \in \{32, 64, 4096\}$.

Lm 4.4.2. Если обозначить **расстояние Хэмминга** как $D(s, t)$, а $f(s)$ – код строки s , канал передачи допускает k ошибок, то исправить ошибки можно iff $\forall s \neq t \ D(f(s), f(t)) \geq 2k+1$.

Доказательство. С учётом ошибок строка s может перейти в любую точку шара радиуса k с центром в $f(s)$. Если такие шары пересекаются, \forall точку пересечения не декодировать. ■

Код Рида-Соломона. Данные a_0, \dots, a_{n-1} задают многочлен $A(x) = \sum a_i x^i$. Передадим значения многочлена в произвольных $n+2k+1$ различных точках (здесь мы требуем $p \geq n$).

Теорема 4.4.3. Корректность кодов Рида-Соломона.

Доказательство. $A(x) \neq B(x) \Rightarrow (A - B)(x)$ имеет не более n корней $\Rightarrow A(x)$ и $B(x)$ имеют не более n общих значений \Rightarrow хотя бы $2k+1$ различных $\Rightarrow D(f(A), f(B)) \geq 2k+1$. ■

Выбор точек и q : хочется применить FFT. На практике можно отправлять данные такими порциями, что $n+2k+1 = 2^b$. Нужно q вида $a \cdot 2^b + 1$ и $x: \text{ord}(x) = 2^b$, точка $w_i = x^i, i \in [0, 2^b)$.

• Декодирование

Мы доказали возможность однозначного декодирования, осталось предъявить алгоритм.

Имели $A(x)$, $\deg A = n-1$, передали $A(w_0), A(w_1), \dots, A(w_{n+2k})$. Получили на выходе данные с ошибками $A'(w_0), A'(w_1), \dots, A'(w_{n+2k})$. Посчитали интерполяционный многочлен $A'(x)$.

Утверждение 4.4.4. Если у $A'(x)$ старшие $2k+1$ коэффициентов нули, ошибок не было.

Итого, если ошибок нет, декодирование при желании можно сделать за $\mathcal{O}(n \log n)$ через FFT.

Обозначим позиции ошибок e_1, e_2, \dots, e_k .

Может быть, ошибок меньше. Главное, что в позициях кроме e_i ошибок точно нет.

Многочлен ошибок $E(x) = (x - e_1)(x - e_2) \dots (x - e_k)$, $B(x) = A(x)E(x)$, $B'(x) = A'(x)E(x)$.

$\forall i \notin \{e_j\} \ A(w_i) = A'(w_i) \Rightarrow \forall i \ B(w_i) = B'(w_i)$. Запишем это, как СЛАУ $\forall i \ B(w_i) = A'(w_i)E(w_i)$, где неизвестные – коэффициенты многочленов B ($n+k+1$ штук) и E (k штук).

Теорема 4.4.5. Для записанной СЛАУ $\exists!$ решение.

Следствие 4.4.6. Декодирование: решим СЛАУ, найдём $A(x) = \frac{B(x)}{E(x)}$.

Асимптотика декодирования: Гаусс $\mathcal{O}((n+k)^3)$. **Бэрликэмп-Мэсси** $\mathcal{O}((n+k)^2)$.

Ссылка на более крутые алгоритмы декодирования в [разд. 4.6](#).

4.5. Счастливые билеты

Задача: билет – последовательность из $2n$ цифр из множества d_1, d_2, \dots, d_k , билет называется счастливым, если сумма первых n цифр совпадает с суммой последних n . Найти число счастливых билетов из $2n$ цифр.

Рассмотрим $P(x) = (x^{d_1} + x^{d_2} + \dots + x^{d_k})^n$. Ответ – сумма квадратов коэффициентов P .

Время возведения в степень – $\mathcal{O}(\log n)$ умножений.

Точнее $\mathcal{O}(\text{mul}(N) + \text{mul}(\frac{N}{2}) + \text{mul}(\frac{N}{4}) + \dots) = \mathcal{O}(N \log N)$, где $\deg P = N = n \cdot \max d_i$.

4.6. Литература

[Shuhong Gao'2002]. Декодирование Рида-Соломона через расширенного Евклида.

Лекция #5: Автоматы

10 апреля 2019

5.1. Определения, детерминизация

Def 5.1.1. Детерминированный автомат – $\langle V, s, T, \Sigma, E \rangle$, $s \in V$, $T \subseteq V$, $D \subseteq V \times \Sigma$, $E: D \rightarrow V$

Def 5.1.2. Детерминированный автомат называется полным, если $D = V \times \Sigma$.

Замечание 5.1.3. Чтобы сделать автомат полным, добавим фиктивную вершину и все \nexists рёбра направим туда.

Def 5.1.4. Недетерминированный автомат – $\langle V, s, T, \Sigma, E \rangle$, $s \in V$, $T \subseteq V$, $E \subseteq (V \times \Sigma) \times V$

Def 5.1.5. Автомат принимает строку w , если $\exists s = v_0, v_1, \dots, v_{|w|}: \forall i (v_i, s_i, v_{i+1}) \in E$.

• Детерминизация

Принимая строку w , недетерминированный автомат в каждый момент времени t находится в одной из вершин множества A_t . “Множества вершин” и будут состояниями детерминированного автомата.

Можно взять $V' = 2^V$, можно оптимальнее – dfs-ом выбрать достижимые множества вершин.

Время детерминизации $\mathcal{O}(|V'| \cdot |E|)$.

5.2. Эквивалентность

• Простейший алгоритм

Проверяем эквивалентность детерминированных автоматов $\langle V_1, s_1, T_1, E_1 \rangle$ и $\langle V_2, s_2, T_2, E_2 \rangle$.

Найдём все пары состояний $v_1 \in V_1, v_2 \in V_2: v_1 \not\equiv v_2$. Все пары будем помещать в очередь.

База: $(v_1 \in T_1) \neq (v_2 \in T_2) \Rightarrow$ помечаем и помещаем $\langle v_1, v_2 \rangle$ в очередь.

Переход: $v_1 \not\equiv v_2 \Rightarrow \forall c, x_1, x_2: E(x_1, c) = v_1, E(x_2, c) = v_2 \quad x_1 \not\equiv x_2$.

Реализация: `(v1,v2) = q.pop(); for c: for x1 in from(v1,c): for x2 in from(v2,c): toQueue(x1, x2)`

Каждую пару (v_1, v_2) переберём не более одного раза \Rightarrow каждую пару рёбер $\Rightarrow \mathcal{O}(E^2)$.

Для корректности алгоритма автоматы должны быть полными.

• Через минимизацию

Чтобы проверить эквивалентность $A_1 = \langle V_1, E_1, T_1, s_1 \rangle$, $A_2 = \langle V_2, E_2, T_2, s_2 \rangle$, запустим минимизацию для $\langle V_1 \cup V_2, E_1 \cup E_2, T_1 \cup T_2 \rangle$, и посмотрим попали ли s_1 и s_2 в один класс эквивалентности.

5.3. Минимизация

Задача: построить автомат, минимальный по числу вершин, эквивалентный данному.

Перед тем, как рассматривать решения, поймём, как устроен минимальный автомат.

Def 5.3.1. $R_A(w)$ – правый контекст строки w . $R_A(w) = \{x \mid A \text{ принимает } wx\}$.

Теорема 5.3.2. Минимальный автомат, эквивалентный A , есть $A_{min} = \langle V, E, s, T \rangle$, где $V = \{R_A(w) \text{ по всем } w\}$, $E = \{R_A(w) \xrightarrow{c} R_A(wc)\}$, $s = R_A(\varepsilon)$, $T = \{\emptyset\}$.

Для недетерминированных есть алгоритм Бржозовского [\[wiki\]](#) [\[pdf\]](#) :

$$A_{min} = d(r(d(r(A)))) = drdrA$$

Где d – детерминизация автомата, r – разворот всех рёбер автомата и $\text{swap}(S, T)$.

Для детерминированных обычно пользуются алгоритмом Хопкрофта.

5.4. Хопкрофт за $\mathcal{O}(VE)$

```

1 # дополняем автомат до полного (next[v, char] - или конец ребра, или -1)
2 fictive = newVertex() # next[fictive, *] = -1, isTerminal[fictive] = 0
3 for v in [0, vertexN):
4     for char:
5         if next[v, char] == -1:
6             next[v, char] = fictive
7
8 # строим обратные рёбра, инициализируем классы
9 for v in [0, vertexN):
10     for char:
11         prev[next[v, char], char].add(v)
12     type[v] = isTerminal[v] # тип/класс вершины
13     A[type[v]].add(v) # A[type] - множество вершин типа type
14 typeN = 2 # изначально есть только терминалы и нетерминалы
15
16 # основной цикл с очередью
17 queue q; q.push(0); # любой из классов 0, 1
18 while !q.isEmpty():
19     t = q.pop()
20     for char:
21         Split(t, char) # самая сложная процедура

```

Функция `Split(t, c)` должна разделить во всех существующих классах разделить вершины по предикату “ведёт ли ребро по символу c в класс t ?” и положить в очередь новые классы.

Её несложно реализовать за $\mathcal{O}(E)$, тогда суммарное время работы алгоритма $\mathcal{O}(VE)$, так как `Split` вызовется не более $V - 2$ раз.

5.5. Хопкрофт за $\mathcal{O}(E \log V)$

Можно реализовать Split оптимальнее. Главная идея:

1. реализовать Split(t) за \mathcal{O} (просмотра входящих рёбер в t),
2. при разбиении класса на два добавлять в очередь только меньшую половину.

```

1 def Split(t, char):
2     cc++ # очищаем vertexMark[] за  $\mathcal{O}(1)$ 
3     allTypes = []
4     types = []
5     for v in A[t]:
6         for u in prev[v, char]:
7             if vertexMark[u] != cc:
8                 vertexMark[u] = cc
9                 t0 = type[u]
10                allTypes.add(t0)
11                B[t0].add(u) # для каждого типа t0 помним посещённую половину
12                if B[t0].size == 0: types.add(t0)
13                if B[t0].size == A[t0].size: types.remove(t0)
14
15    for t0 in types: # те классы, которые поделились относительно (t, char)
16        if B[t0].size * 2 > A[t0].size: # если B[t0] - большая половина
17            B[t0].clear()
18            for u in A[t0]: # тратим времени  $\mathcal{O}(B[t0].size)$ , то есть,  $\mathcal{O}$ (уже потраченного)
19                if vertexMark[u] != cc:
20                    B[t0].add(u)
21            # теперь B[t0] - точно меньшая половина
22            for u in B[t0]: # перекрашиваем половину B[t0]
23                type[u] = typeN # номер нового класса - автоинкремент
24                A[typeN].add(u)
25                A[t0].add(u)
26            # Теперь старый класс t0 разбит на два новых (t0, typeN), кладем в очередь меньшую половину
27            q.add(typeN++)
28
29    for t0 in allTypes: # быстрое обнуление массивов B[]
30        B[t0].clear()

```

Время работы. Блок строк [15-26] работает за $\mathcal{O}([5-13])$. Блок [5-13] – перебор вершин $v \in A[t]$ и входящих в них рёбер. Если вершина $v \in A[t]$ на строке (5), то следующий раз мы положим её в очередь в составе в два раза меньшего класса \Rightarrow переберём её не более $\log V$ раз \Rightarrow каждое входящее рёбро переберём $\log V$ раз \Rightarrow время работы $\mathcal{O}(E \log V)$.

Замечание 5.5.1. Здесь E – количество рёбер в автомате, дополненном до полного $\Rightarrow E = V \cdot |\Sigma|$.

5.6. Литература

[hopcroft,motwani,ulman'2001]. Книжка про автоматы. Минимизация в разделе 4.4, стр. 154.

Лекция #6: Суффиксный автомат

19 сентября

6.1. Введение, основные леммы

Будем обозначать “ v – суффикс u ” как $v \subseteq u$

Def 6.1.1. Суффиксный автомат строки s , $SA(s)$ – мин по числу вершин детерминированный автомат, принимающий ровно суффиксы строки s , включая пустой.

Def 6.1.2. $R_s(u)$ – правый контекст строки u относительно строки s .

$$R_s(u) = \{x \mid ux \subseteq s\}$$

Пример: $s = abacababa \Rightarrow R_s(ba) = \{cababa, ba, \epsilon\}$

Мы будем рассматривать правые контексты только от подстрок $s \Rightarrow R_s(v) \neq \emptyset$.

Def 6.1.3. $V_A = \{u \mid R_s(u) = A\}$ – все строки с правым контекстом A .

Def 6.1.4. $V(w)$ – вершина автомата, в которой заканчивается строка w ($w \in V_A$).

Утверждение 6.1.5. $\forall A$ все строки V_A заканчиваются в одной вершине суффаавтомата. Собственно вершины автомата, как и в 5.3.2 – классы V_A .

Следствие 6.1.6. Рёбра между вершинами проводятся однозначно:

$(\exists x \in V_A, xc \in V_B) \Leftrightarrow$ (между вершинами V_A и V_B есть ребро по символу “ c ”).

Lm 6.1.7. $R_s(v) \cap R_s(u) \neq \emptyset, |v| \leq |u| \Rightarrow v \subseteq u$.

Доказательство. Возьмём $w \in R_s(v) \cap R_s(u)$, строки vw и uw – суффиксы s , отрезем w . ■

Lm 6.1.8. $R_s(v) = R_s(u), |v| \leq |u| \Rightarrow v \subseteq u$.

Lm 6.1.9. v – суффикс $u \Rightarrow R_s(u) \subseteq R_s(v)$ (у суффикса правый контекст шире).

Lm 6.1.10. $v \subseteq w \subseteq u, R_s(v) = R_s(u) \Rightarrow R_s(v) = R_s(w) = R_s(u)$ (непрерывность отрезания).

Следствие 6.1.11. $\forall A$ класс V_A определяется парой $s_{min} \subseteq s_{max}$: $V_A = \{w \mid s_{min} \subseteq w \subseteq s_{max}\}$.

Def 6.1.12. Суффиксная ссылка $V(w)$ – вершина $V(z)$: $z \subseteq w, R_s(z) \neq R_s(w), |z| = \max$.

$\text{suf}[V]$ – суффиксная ссылка V_A

$\text{len}[V] = |s_{max}(V_A)|$

Lm 6.1.13. $|s_{min}(V_A)| = \text{len}[\text{suf}[A]] + 1$

Замечание 6.1.14. $\text{suf}[A]$ корректно определена iff $\text{len}[A] \neq 0$.

Lm 6.1.15. У $SA(s)$ терминальными являются вершины $V(s), \text{suf}[V(s)], \text{suf}[\text{suf}[V(s)]], \dots$

Из 6.1.5 (вершины), 6.1.6 (рёбра), 6.1.15 (терминалы) мы представляем устройство суффаавтомата.

Из лемм и 6.1.11 (вершина = отрезок суффиксов) 6.1.12 (суффссылка) мы получили инструменты для построения линейного алгоритма.

6.2. Алгоритм построения за линейное время

Алгоритм будет онлайн наращивать строку s . Начинаем с пустой строки $s = \varepsilon$.
Осталось научиться, дописывая к s символ a , от $SA(s)$ переходить к $SA(sa)$.

Будем в каждый момент времени поддерживать:

- (a) **start** – $V(\varepsilon)$ (стартовая вершина)
- (b) **last** – $V(s)$ (последняя вершина)
- (c) **suf[V]** – для каждой вершины автомата суффикссылку
- (d) **len[V]** – для каждой вершины автомата максимальную длину строки
- (e) **next[A, c]** – рёбра автомата

База: $s = \varepsilon$, **start** = **last** = 1.

Для того, чтобы понять, как меняется автомат, нужно понять, как меняются его вершины – правые контексты. Переход: $s \rightarrow sa \Rightarrow R_s(v) = \{z_1, \dots, z_k\} \rightarrow R_{sa}(v) = \{z_1a, \dots, z_k a\} +? \varepsilon$.

Пример 6.2.1. $s = abacabx$, $R_s(ab) = \{acabx, x\}$, $R_{sa}(ab) = \{acabx\mathbf{a}, x\mathbf{a}\}$

Пример 6.2.2. $s = abacab$, $R_s(ba) = \{cab\}$, $R_{sa}(ba) = \{cab\mathbf{a}, \varepsilon\}$

Lm 6.2.3. $(\varepsilon \in R_{sa}(v)) \Leftrightarrow (v \subseteq sa)$.

TODO

6.3. Реализация

TODO

6.4. Линейность размера автомата, линейность времени построения

TODO

Лекция #7: Линейное программирование

29 апреля 2019

7.1. Применение LP и ILP

Def 7.1.1. Задача LP. Поиск $x: Ax \leq b, x \geq 0, \langle c, x \rangle \rightarrow \max, x \in \mathbb{R}^n$

Def 7.1.2. Задача ILP. Поиск $x: Ax \leq b, x \geq 0, \langle c, x \rangle \rightarrow \max, x \in \mathbb{Z}^n$

При этом мы помним, как приводить к виду LP несколько похожих задач.

• LP: Кратчайшее расстояние в графе (от s до всех)

x_i — расстояние до вершины i , $x_s = 0$

Для каждого ребра $a \xrightarrow{w} b$ добавляем условие $x_b \leq x_a + w$

$$\sum_i x_i \rightarrow \max$$

• LP: Максимальный поток $s \rightarrow t$

Обратные рёбра не создаём, x_e — поток по ребру e .

$0 \leq x_e \leq capacity_e$ (второе добавляем в список неравенств)

Для каждой вершины $v \neq s, t$ добавляем условие $\sum x_{e \in in(v)} = \sum x_{e \in out(v)}$

$$\sum_{e \in out(s)} x_e \rightarrow \max$$

Немного магии: в симплекс-методе можно $0 \leq x_e$ бесплатно заменить на $0 \leq x_e \leq c_e$.

• LP: Поток размера k минимальной стоимости $s \rightarrow t$

$$\sum_{e \in out(s)} x_e = k$$

$$\sum_e x_e cost_e \rightarrow \min$$

• LP: Мультипродуктовый поток

Мы решаем на одной сети одновременно k задач “пустить из s_i в t_i F_i единиц потока”. По каждому ребру e течёт одновременно $f_{e1}, f_{e2}, \dots, f_{ek}$, и должно выполняться общее ограничение $\forall e \sum_i f_{ei} \leq capacity_e$. В отличие от предыдущих проще чем “сведём к LP” задача не решается.

• ILP: Два непересекающихся пути $A \rightarrow B, C \rightarrow D$

Задача NP-трудна, через поток размера два (склеить A и B, C и D) не делается.

Зато является частным случаем *целочисленного мультипродуктового потока*.

• ILP: Паросочетание в произвольном графе максимального веса

Каждому ребру сопоставляем переменную x_e — взяли ли мы ребро в паросочетание. $x_e \geq 0$.

Каждой вершине условие $\sum_{e \in adj(v)} x_e \leq 1$.

$$\sum_e x_e cost_e \rightarrow \max.$$

Замечание 7.1.3. На самом деле эту задачу можно решить за полином через LP

• LP: Паросочетание в двудольном графе максимального веса

Та же сеть, что в предыдущей, но благодаря двудольности матрица A задачи LP будет обладать свойством *тотальной унимодулярности*, из чего следует, что симплекс автоматически найдёт целочисленное решение.

• LP: Вершинное покрытие минимального веса

$0 \leq x_v$ – взяли ли вершину v , для каждого ребра (a, b) имеем $x_a + x_b \geq 1$. Цель: $\sum_v x_v w_v \rightarrow \min$.
 $x_v \in \mathbb{Z} \Rightarrow$ решаем ILP, возвращаем $\{i \mid x_i = 1\}$, получили точное решение.
 $x_v \in \mathbb{R} \Rightarrow$ решаем LP, возвращаем $\{i \mid x_i \geq \frac{1}{2}\}$, получили 2-приближение.

7.2. Сложность задач LP и ILP

Симплекс метод решает LP на большинстве тестов за полином, но в худшем всё же за экспоненту. Есть полиномиальные решения LP. Одно из них – *метод эллипсоидов*, им мы займёмся сегодня.

Lm 7.2.1. ILP \in NP-hard

Доказательство. Сведём SAT. $0 \leq x_i \leq 1$, для каждого дизъюнкта $\sum x_{i_j} \geq 1$. ■

7.3. Геометрия и алгебра симплекс-метода

Система неравенств $Ax \leq b$ – пересечение полупространств. Такой объект называется полиэдром. Полиэдр выпукл, максимум любой линейной функции на нём достигается в вершине.

Lm 7.3.1. Для системы $Ax = b, x \geq 0, \langle c, x \rangle \rightarrow \max$ из m уравнений \exists оптимальное решение, содержащее не более m ненулевых x_i .

Доказательство. Рассмотрим оптимальное решение x^* с максимальным числом нулевых компонент. Пусть число нулей $k \geq m + 1$. Мы хотим подвигать x^* так, чтобы нули остались нулями, а x^* осталось решением. Решение системы “ m уравнений $Ax = b$ и $n - k$ уравнений $x_i = 0$ ” или пусто, или хотя бы прямая ($\dim = n - m - (n - k) = k - m \geq 1$). x^* – решение $\Rightarrow \exists$ прямая, пойдём по ней в сторону увеличения $\langle c, x \rangle$, пока не упрёмся в ограничение $x_j = 0$. Получили решение, у которого $\langle c, x \rangle$ не хуже, а нулей больше. Противоречие. ■

Теорема 7.3.2. Корректность симплекса

Доказательство. Чем занимается симплекс? Перебирает наборы из m столбцов, которые соответствуют ненулевым переменным. Зафиксировав эти m столбцов и занулив оставшиеся переменные, мы однозначно получаем кандидата на оптимальное решение.

Конечность алгоритма: есть всего $\binom{m}{n}$ выборов, важно, чтобы они не повторялись.

Для этого мы используем правило Блэнда (*доказательство*) – брать min столбец.

Оптимальность решения после остановки симплекса: $\forall i \ c_i \leq 0 \Rightarrow \langle c, x \rangle \leq 0 \Rightarrow 0$ – оптимум. ■

• Симплекс перебирает вершины полиэдра

Если исходная задача имела форму $Ax \leq b, x \geq 0$, то область допустимых решений – полиэдр, а оптимум $\langle c, x \rangle$ достигается в вершине полиэдра. Симплексу мы скормливаем систему $Ax + y = b, x \geq 0, y \geq 0$. При этом и $y_i = 0$, и $x_i = 0$ означает, что одно из исходных неравенств обратилось в равенство (полупространство \rightarrow плоскость). Из $n + m$ переменных x_i, y_i n обратятся в ноль, чем породят n плоскостей, пересечение которых – вершина полиэдра.

• Когда у симплекса есть вероятность застрять?

Если вершина полиэдра – не оптимум, из неё есть ребро, по которому функция увеличивается. Но симплекс может остаться на месте, лишь поменяв множество столбцов. Это значит, что вершина полиэдра есть одновременное пересечение больше чем n плоскостей.

7.4. Литература, полезные ссылки

[cormen]. Доступное для школьников описание симплекса.

[test]. Тест, на котором симплекс работает за экспоненту (Klee–Minty cube).

[efficiency]. Чуть подробнее про время работы симплекса (Hirsch Conjecture and so on).

[bland]. Правило Блэнда.

[max-babenko]. Хороший видео курс про линейное программирование от Максима Бабенко.

7.5. Перебор базисных планов

Понимание симплекса дало нам простейшее решение для LP – перебрать все $\binom{m}{n}$ базисных планов и для каждого пустить Гаусса. Такое решение можно использовать для тестирования. Заметьте, что до этого мы не знали вообще никаких решений задачи LP кроме симплекса.

7.6. Обучение перцептрона

В фундаменте нейронных сетей живёт один нейрон, он же перцептрон. Для решения некоторых задач классификации достаточно сети, состоящей лишь из одного нейрона.

Задача: даны точки $a_i \in \mathbb{R}^n$ и значения $y_i \in \{\pm 1\}$, найти гиперплоскость b, x_1, \dots, x_n , что $\forall i \text{ sign}(b + a_{i1}x_1 + a_{i2}x_2 + \dots + a_{in}x_n) = \text{sign}(y_i)$

Сразу упростим задачу

1. Добавим $\forall i \ a_{i0} = 1$, обозначим $x_0 = b$.
2. Для всех $y_i = -1$ заменим a_i на $-a_i$, а y_i на 1. 3. Нормируем все a_i .

Теперь мы просто ищем такой вектор x , что $\forall i \ \langle x, a_i \rangle > 0$.

Решение: начнём с $x_0 = 0$, пока $\exists i_k \ \langle x_k, a_{i_k} \rangle \leq 0$, переходим к $x_{k+1} = x_k + a_{i_k}$.

$$|a_i| = 1, \ |x_k|^2 = (x_{k-1} + a_{i_{k-1}})^2 = x_{k-1}^2 + 1 + 2\langle x_{k-1}, a_{i_{k-1}} \rangle \leq |x_{k-1}|^2 + 1 \leq k. \quad (1)$$

$$x^* - \text{искомый ответ}, \ |x^*| = 1, \ \langle x_k, x^* \rangle = \sum_j \langle a_{i_j}, x^* \rangle \geq k\alpha, \text{ где } \alpha = \min_i \langle a_i, x^* \rangle > 0. \quad (2)$$

$$k\alpha \stackrel{(2)}{\leq} \langle x_k, x^* \rangle \leq |x_k| \stackrel{(1)}{\leq} \sqrt{k} \Rightarrow \sqrt{k} \leq \frac{1}{\alpha} \Rightarrow k \leq \alpha^{-1/2}$$

■

Проблема: уже при $n \geq 2$ мы можем построить тесты с α близким к нулю.

7.7. Метод эллипсоидов (Хачаян'79)

Решаем задачу $P = \{x \mid Ax \geq b\}$, найти $x \in P$, ограничение $P \neq \emptyset \Rightarrow \text{Volume}(P) > 0$.

Кроме A и b нам должны дать шар $E_0(x_0, r_0) \supseteq P$.

• Алгоритм

В каждый момент времени у нас есть эллипсоид $E_k(x_k, R_k): x^T R x \leq 1$, содержащий P .

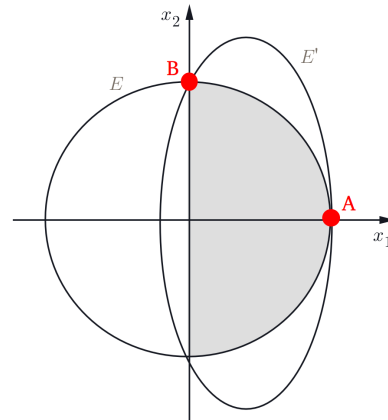
Если $x_k \in P$, счастье. Иначе выберем $i_k: \langle a_{i_k}, x \rangle < b$. $P \subseteq E_k \cap H_k$, где $H_k = \{x \mid \langle a_{i_k}, x \rangle \geq b\}$ (в половине эллипсоида по направлению a_{i_k} от центра). Теперь выпишем переход к $(k+1)$ -му эллипсоиду в предположении, что E_k – единичная сфера, и $\forall i \ |a_i| = 1$.

$$x_{k+1} = x_k + \frac{1}{n+1} a_{i_k}$$

$$r_{k+1} = \left(\frac{n}{n+1}, \frac{n}{\sqrt{n^2-1}}, \dots, \frac{n}{\sqrt{n^2-1}} \right)$$

$$R_{k+1} = \begin{bmatrix} \frac{(n+1)^2}{n^2} & 0 & 0 \\ 0 & \frac{n^2-1}{n^2} & 0 \\ 0 & 0 & \ddots \end{bmatrix}$$

Где первая координата радиуса указана по направлению a_{i_k} .



• Математика: эллипсоиды

Эллипс: $\frac{x^2}{a^2} + \frac{y^2}{b^2} \leq 1$.

Добавим поворот и переход к \mathbb{R}^n : $z^t R z \leq 1$, где $z \in \mathbb{R}^n$, $R \in \mathbb{R}^{n \times n}$, $R \succ 0$.

Случай из \mathbb{R}^2 без поворота: $z = (x, y)$, $R = \begin{bmatrix} \frac{1}{a^2} & 0 \\ 0 & \frac{1}{b^2} \end{bmatrix}$.

• Математика: матрицы

$R \succ 0$ (положительно определена) $\Rightarrow R = B^t D B$ (здравствуй, Жорданова форма), где

B – ортонормированная матрица собственных векторов,

D – диагональная матрица собственных чисел (с точки зрения геометрии $D_{ii} = \frac{1}{r_i^2}$).

Более того $B^t = B^{-1}$ (это нормально для ортонормированных матриц).

Lm 7.7.1. Растяжение системы координат по направлению z

(1) Важно помнить, что если $f(x, R) = x^t R x$, то

$f(x + y, R) = f(x, R) + f(y, R)$, $f(x, R + \Delta R) = f(x, R) + f(x, \Delta R)$.

(2) Фокус: $\forall z \in \mathbb{R}^n: |z| = 1$ матрица $S = z z^t$ обладает свойством $f(z, S) = 1$, $\forall v \perp z$ $f(v, S) = 0$.

(1),(2) $\Rightarrow \forall A, |z|=1, \alpha \in \mathbb{R}, S = A + \alpha z z^t$ $f(z, S) = f(z, A) + \alpha$, $\forall v \perp z$ $f(v, S) = f(v, A)$

• Математика: системы координат

Почему мы предполагали, что E_k – единичная сфера?

Это удобно, и мы всегда можем перейти к такой системе координат, где это верно:

$R = B^t D B, x^t R x = 1 \Rightarrow S = B^t D^{-1/2}, x = S y, y^2 = 1$ (y – точка на единичной сфере).

• Обоснование алгоритма

Радиус $r_1 = \frac{n}{n+1}$ подобран так, чтобы точка A была покрыта: $\frac{1}{n+1} + \frac{n}{n+1} = 1$.

Радиус $r_2 = \frac{n}{\sqrt{n^2-1}}$ подобран так, чтобы точка B была покрыта: $\frac{x_1^2}{r_1^2} + \frac{x_2^2}{r_2^2} = \left(\frac{1}{n+1}\right)^2 \left(\frac{n+1}{n}\right)^2 + \frac{n^2-1}{n^2} = 1$.

Посмотрим на частное объёмов. Объём эллипсоида равен $f(n) r_1 r_2 \dots r_n$, поэтому $\frac{V_{k+1}}{V_k} = \frac{r_1 r_2 \dots r_n}{1 \cdot 1 \dots 1} = \frac{n}{n+1} \left(\frac{n}{\sqrt{n^2-1}}\right)^{n-1} = \dots \leq e^{-1/2(n+1)} \Rightarrow$ за $2(n+1)$ шагов объём уменьшится хотя бы в e раз.

\Rightarrow количество шагов не более $2(n+1) \cdot \ln(\text{Volume}(E_0)/\text{Volume}(P))$.

Хорошая новость: это полином от n .

Плохая новость: в худшем это $\mathcal{O}(n^4 \log(nU))$.

Пояснение: $\text{Volume}(E_0) \leq (nU)^{\Theta(n^2)}$, $\text{Volume}(P) \geq (nU)^{-\Theta(n^3)}$. U – ограничение на $a_{ij}, b_i \in \mathbb{Z}$.

• Время работы алгоритма

Один шаг работает за $mn + n^2$.

m – количество проверок $\langle a_i, x_k \rangle \geq b_i$.

n^2 – время пересчёта матрицы система координат.

Требуемая точность вычислений – $n^3 \log U$ цифр.

Итого: $\mathcal{O}^*(n^9)$, где $9 = 2 + 3 + 4$.

• Псевдокод

```

1 # Наш эллипсоид задаётся уравнением  $(x - x_0)^t D^{-1} (x - x_0) = 1$ 
2 # Напомним, что  $D \succ 0 \Rightarrow D = A^T R A, D^{-1} = A^T R^{-1} A$ , где  $R$  - диагональная
3  $x_0 = [0, 0, 0, \dots, 0]$ 
4  $D[i, i] = 10^{20}$  #  $\infty$ 
5 while True: # Предполагаем, что ответ существует
6     find i :  $\sum_j a[i, j] x_0[j] < b[i]$  #  $\mathcal{O}(nm)$ 
7     if i does not exist : return  $x_0$  # Нашли точку, удовлетворяющую всем неравенствам
8      $z = D * a_i$  #  $\mathcal{O}(n^2)$ ,  $z$  - нормаль  $a_i$  в другой системе координат
9      $len = (a_i^t * D * a_i)^{1/2}$  #  $\mathcal{O}(n^2)$ 
10     $x_0 += \frac{1}{n+1} z / len$  #  $\mathcal{O}(n)$ 
11     $D = \frac{n^2}{n^2-1} * (D - \frac{2}{n+1} z * z^t / len^2)$  #  $\mathcal{O}(n^2)$ , растянули всё в  $\frac{n}{\sqrt{n^2-1}}$  раз и
    поменяли радиус по направлению  $z$ , см. 7.7.1

```

• Обобщение

Можно применить не только к \cap полупространств, но и к $\cap \forall$ выпуклых множеств P_i .
 Нам достаточно уметь проверять $x_k \in P_i$ и искать опорную плоскость к P_i .

7.8. Литература, полезные ссылки

[MIT'09 | ellipsoid]. Краткое, но полное описание метода эллипсоидов.

[Florida'07 | ellipsoid]. Строгое описание метода эллипсоидов с кучей ссылок по теме.

[Кормен'2013, разделы 29.2 и 35.4]. Примеры задач на LP.

Лекция #8: Паросочетание в произвольном графе

13 мая 2019

8.1. Полезные данные из прошлого

Lm 8.1.1. Лемма о дополняющем пути. Если паросочетание M не максимально, то существует дополняющий, чередующийся относительно M , путь (ЧДП), увеличивающий M .

Lm 8.1.2. Корректность Куна. Алгоритм последовательно увеличивает M дополняющими путями. $\forall v$ если в какой-то момент \nexists дополняющего чередующегося пути из v , то это навсегда.

Lm 8.1.3. Симметрические разности.

M_1, M_2 – паросочетания, тогда $M_1 \Delta M_2$ – набор путей и циклов, причём в $M_1 \Delta M_2$ есть хотя бы $||M_1| - |M_2||$ ЧДП.

P – чередующийся относительно M_1 путь (не важно, дополняющий ли), тогда $M_1 \Delta P$ – тоже паросочетание, причём $|M_1 \Delta P| = |M_1| + \Delta P$, где $\Delta P = +1$ для ЧДП, 0 для чётного пути.

Lm 8.1.4. Поиск дополняющего пути в двудольном графе.

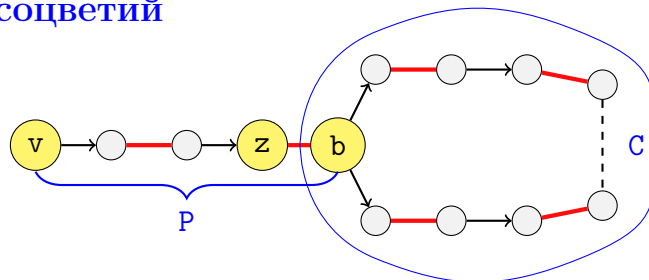
Чтобы из свободной вершины v 1-й доли найти дополняющий путь, запустим dfs/bfs на орграфе, где из 1-й доли ведут все рёбра, а из 2-й доли только рёбра паросочетания.

- Первые три леммы верны для произвольного графа.
- Последнюю мы сможем применить, добавив в алгоритм случай “найден нечётный цикл”.

Упражнение 8.1.5. G – произвольный граф. M_1, M_2 – паросочетания в нём. Есть ли в $M_1 \Delta M_2$ нечётные циклы?
(конечно, нет, в сим.разности только чередующиеся циклы)

8.2. Алгоритм Эдмондса сжатия соцветий

Берём Куна и добавляем в dfs/bfs случай “найден нечётный цикл”. Кстати, мы нашли не просто нечётный цикл, а чередующийся нечётный цикл C со стеблем P .



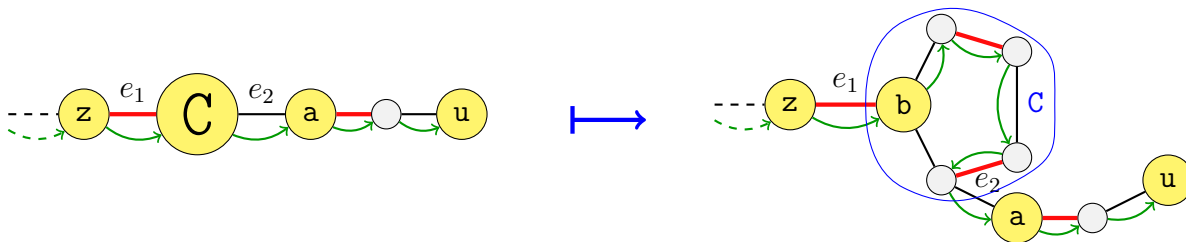
Теорема 8.2.1. Теорема Эдмондса¹. Пусть стебель P начинается в v .

$G' = G/C$ (стянули цикл C в одну вершину) \Rightarrow в G есть ЧДП из v iff в G' есть ЧДП из v

Доказательство. В G' есть путь $T \Rightarrow$ в G есть.

Если путь T не проходит через вершину C , не меняем его.

Иначе заметим, что в T вершине C смежны два ребра – $e_1 = (z, b) \in M$ и $e_2 \notin M$. Расжимаем.



¹На е-тахах используется слишком слабая версия теоремы, нам нужен путь именно из v .

Доказательство. В G есть путь $T: v \rightsquigarrow u \Rightarrow$ в G' есть путь $T': v \rightsquigarrow u$.

Сперва пусть $P = \{b\}$. Возьмём в T последнее ребро, исходящее из цикла ($e: z \rightarrow w, z \in C$).
 b не покрыта $M \Rightarrow$ все рёбра из $C \notin M \Rightarrow e \notin M$. Отрежем от T кусок до e , получили путь T' .

В общем случае применим предыдущую идею к паросочетанию $M_1 = M \triangle P$ и пути T_1 , взятого из $(M \triangle T) \triangle M_1$. Получили T'_1 . T' найдётся в $(M_1 \triangle T'_1) \triangle M$.

Путь	Относительно	Где	Куда	Как появился?
T	M	G	$v \rightarrow u$	Дан по условию.
T_1	$M_1 = M \triangle P$	G	$b \rightarrow u$	Найден в $(M \triangle T) \triangle M_1$.
T'_1	$M_1 = M \triangle P$	G'	$C \rightarrow u$	Отрезали от T_1 часть до <i>последнего ребра, исходящего из C</i> .
T'	M	G'	$v \rightarrow u$	Найден в $(M_1 \triangle T'_1) \triangle M$.

Lm 8.2.2. Для тех, чей мозг плавится под воздействием симметрических разностей.

Пусть $A(M)$ – свободные вершины относительно паросочетания M .

Концы всех путей в $M_1 \triangle M_2$ лежат в $A(M_1) \triangle A(M_2)$.

Таблица, чтобы понять, почему именно такие пути мы нашли в $(M \triangle T) \triangle M_1$ и $(M_1 \triangle T'_1) \triangle M$:

Паросочетание	Свободные вершины	Покрытые вершины	Граф	Как получили
M	vu	$b(C)$	G/G'	Дано по условию.
M_1	$b(C)u$	v	G/G'	Поксорили M со стеблем.
$M \triangle T$		vbu	G	Увеличили паросочетание M путём T .
$M_1 \triangle T'_1$		vCu	G'	Увеличили паросочетание M_1 путём T'_1 . ■

8.3. Реализация за $\mathcal{O}(V^3)$

1. **for** $v=1..n$ запустим **dfs/bfs**(v), доставшийся нам от Куна, для поиска пути.
2. Поиск пути нашёл путь или нечётный цикл со стеблем (соцветие = цветок + стебель).
3. Сожмём нечётный цикл в одну вершину, продолжим поиск. На слове *продолжим* мы понимаем, что из **dfs/bfs** удобнее **bfs**.
 - (a) Сжимаем нечётный цикл в новую вершину z за $\mathcal{O}(V \cdot \text{cycleLen})$.
 - (b) Кидаем z в очередь, удаляем все вершины цикла из очереди.
 - (c) Делаем рекурсивный вызов **continueBfs**, который возвращает путь в сжатом графе.
 - (d) Если путь проходит через z , делаем расжатие пути. Возвращаем путь в исходном графе.

continueBfs – тот же **bfs**, но не обнуляем очередь и пометки.

Время работы = $V \cdot \text{bfs} = V(E + V^2)$: E – просмотрели рёбра по разу, $\mathcal{O}(V^2) = \mathcal{O}(V \cdot \sum_i \text{cycleLen}_i)$

8.4. Красивая простая реализация Эдмондса (Габов'1976)

Основная схема та же, что в Куна:

```

1 mate = [-1, -1, ..., -1] # mate[v] - пара в паросочетании
2 for v in 1..n
3     if mate[v] == -1
4         endOfPath = bfs(v)
5         if endOfPath != -1
6             mate = mate  $\triangle$  recoverPath(endOfPath)

```

bfs по ходу работы пометает вершины 1-й доли $\text{used}[v] = 1$.

Вершины 2-й доли – пары вершин 1-й доли.

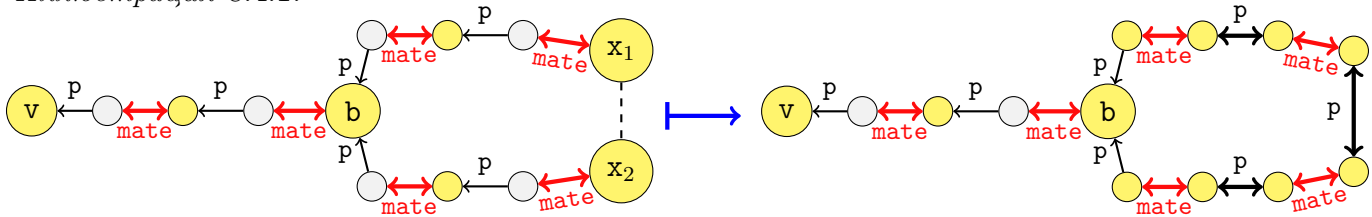
Для \forall вершины w 2-й доли храним предыдущую $p[w]$ в 1-й доли.

Таким образом $w, p[w], \text{mate}[p[w]], p[\text{mate}[p[w]]], \dots$ – путь до $w \rightsquigarrow v$.

Рёбра $\{w \rightarrow \text{mate}[p[w]] \mid \text{used}[w] = 1\}$ образуют дерево T с корнем в $\text{mate}[v]$.

Интересен случай, когда мы пытаемся пойти из помеченной вершины x_1 в помеченную вершину x_2 . Тогда налицо нечётный цикл C , причём до всех вершин этого цикла кроме основания мы научились доходить, как до вершин 1-й доли.

Иллюстрация 8.4.1.



Замечание 8.4.2. Здесь жёлтым отмечены вершины, до которых мы умеем доходить, как до вершин первой доли. Они же лежат в очереди.

• Главная идея

Сжимая цикл C , вместо того, чтобы создавать новую вершину и видоизменять граф, лишь запомним, что все вершины C лежат именно в C . Для этого будем $\forall v$ поддерживать $\text{base}[v]$ – основание цикла, в котором лежит v .

• Алгоритм действий

1. За $\mathcal{O}(n)$ выделить в дереве T вершину $b = \text{lca}(x_1, x_2)$.
2. Пусть b_i – первая вершина на пути $x_i \rightsquigarrow b$: $\text{base}[b_i] = \text{base}[b]$.
Пройти по путям $P_1: x_1 \rightsquigarrow b_1$ и $P_2: x_2 \rightsquigarrow b_2$ и проставить новые ссылки $p[]$.
 $\forall z \in P_1 \cup P_2: \text{used}[z] = 0$ пометить z и добавить в очередь **bfs**-а.
Важно: менять $p[b_1]$ и $p[b_2]$ нельзя, также нужно идти именно до b_1 и b_2 (до b нельзя, иначе мы можем случайно поменять $p[b_1]$).
3. $\forall u \in P_1 \cup P_2 \quad \forall w: \text{base}[w] = \text{base}[u]$ сделать $\text{base}[w] := b$.

8.5. Оптимизации

Как и для Куна, основные оптимизации – не удалять пометки и жадно инициализировать паросочетание. Важно, что второе толком не работает без первого.

- Удаляем пометки, пока не нашли ЧДП $\Rightarrow \mathcal{O}(V \cdot \text{bfs})$ превратилось в $\mathcal{O}(|M| \cdot \text{bfs})$.
- Жадно находим за $\mathcal{O}(E)$ паросочетание размером $\geq \frac{|M|}{2} \Rightarrow$ ускорили ещё в два раза.

8.6. DSU и $\mathcal{O}(VE \cdot \alpha)$

Научимся случай “нечётный цикл” обрабатывать за $\mathcal{O}(k \cdot \alpha)$, где k – длина цикла в сжатом графе. Тогда суммарное время работы **bfs** будет $\mathcal{O}((V + E) \cdot \alpha)$.

• Поиск LCA

Во-первых, мы будем переходить не $v \rightarrow p[\text{mate}[v]]$, а сразу $v \rightarrow p[\text{mate}[\text{base}[v]]]$.

Во-вторых, $\text{LCA}(x_1, x_2)$ можно искать не за $\mathcal{O}(n)$, а за $\mathcal{O}(k)$, идя от x_1 и x_2 двумя указателями.

- Собственно сжатие цикла

$\text{base}[v] \rightarrow \text{DSU.get}(v)$. Какие множества нужно передать DSU.join ? Повторим код LCA, только теперь идём ровно до базы b . Объединяем все пройденные $\text{base}[v]$, $\text{mate}[\text{base}[v]]$ с b .

- Добавление вершин в очередь

Если вершина лежит в уже сжатом цикле, она точно в очереди.

Иначе это $\text{mate}[\text{base}[v]]$. Каждую такую попробуем добавить.

- Обновление ссылок $p[]$

Если мы хотим просто проверить наличие дополняющего пути, то ссылки $p[]$ вообще не нужны. Для восстановления пути основная идея – хранить только остовное дерево bfs , то есть, не переписывать $p[]$ и не проставлять ссылки $p[]$ вершинам, которые мы изначально определили во 2-ю долю, и лишь при сжатии цикла были добавлены в очередь. Для таких вершин y 2-й доли мы запомним, что добавили их в очередь, когда сжимали цикл, образованный ребром (v, x) , и откатываясь по пути из v до базы цикла. Тогда чтобы продолжить восстанавливать путь из y , пройдем кусок $v \rightarrow y$, развернем его, а затем продолжим восстанавливать путь из x .

- Реализация

[[rkolganov](#)]. dfs-реализация за $\mathcal{O}(VE \cdot \alpha)$.

8.7. Реализации через dfs

Если мы хотим вместо bfs использовать dfs , то при сжатии все вершины цикла нужно положить в vector , пометить, а потом по очереди сделать от каждой рекурсивный вызов.

У dfs есть огромный плюс – когда мы идём из v в x и обнаруживаем нечётный цикл, то $\text{LCA}(v, x) = \text{inTime}[v] < \text{inTime}[x] ? \text{base}[v] : \text{base}[x]$; (т.е. ищем LCA за $\mathcal{O}(1)$).

8.8. Альтернативное понимание реализации

Попробуем вообще не думать про нечётные циклы. Будем поддерживать массивы $p[]$, $\text{mate}[]$.

```

1 v = q.pop()
2 for e : v --> x
3     if mate[x] == -1: return # нашли путь, молодцы
4     if !used[mate[x]]:
5         p[x] = v
6         used[mate[x]] = 1
7         q.push(mate[x])

```

Проблема такого подхода только в том, что при восстановлении пути по ссылкам $p[]$, мы можем получить не простой путь. Эту проблему можно попробовать костыльно разрешить, в явном виде проверяя при $p[x] = v$, что x нет в пути от v до корня. Окажется, что тогда мы некоторые пути не найдём, но в простых случаях, как 8.4.1, отработаем корректно. Можно попробовать более мощный костыль, обработать таки случай “нечётный цикл”, пройдя ровно до LCA и проставив ссылки. Это как раз пример **TODO**, на котором мы показывали, почему важно идти до b_i , но не b . Так вот: массив $\text{base}[]$, имеющий тайный смысл “база нечётного цикла”, – простейший корректный способ разрешить сложности с $p[]$.

8.9. Литература, полезные ссылки

[e-maxx]. Классическое описание алгоритма Эдмондса и реализации Габова.

[Galil'1986]. Экскурс во всё известное об алгоритмах для паросочетаний на 86-й год. В нашем курсе мы не выходим за рамки этих результатов и даже не затрагиваем самые крутые.

8.10. Исторический экскурс

[Gabow'1976]. Ph.D. Гарольда Габова'72. Простая и красивая реализация Эдмондса за $\mathcal{O}(V^3)$.

• Попытки обобщить Хопкрофта-Карпа для произвольного графа.

[Even&Kariv'1975]. Научились делать одну фазу Хопкрофта-Карпа за $\mathcal{O}(V^2 + E \log V)$.

Получили $\mathcal{O}(\min(V^{5/2}, EV^{1/2} \log V))$. Достойный претендент на *ACM Longest Paper Award*.

Ивен был научником Харива, который через год оформил эту работу своим Ph.D.

[Micali&Vazirani'1980]. MV80. Научились одну фазу делать за $\mathcal{O}(E)$, получили $\mathcal{O}(EV^{1/2})$.

[Peterson'1988]. Автор утверждает, что смог сделать “понятное изложение” MV80.

[Vazirani'2014]. Ребята наконец оформили строгое доказательство своего мегаалгоритма =)

[Gabow'2017]. Современная реализация алгоритма за $\mathcal{O}(EV^{1/2})$ на github.

Лекция #9: Двойственность, целочисленность

15 мая 2019

• Общая идея

Если у нас есть уравнения/неравенства, их можно умножать на константу и складывать, получая новые. Если именно неравенства, следует использовать положительные коэффициенты, чтобы неравенства не меняли знак. Если i -ю строку A умножаем на y_i , получаем $y^t A$.

9.1. Формулировка задачи

- $Ax = b, x \geq 0, \langle c, x \rangle \rightarrow \max$

Возьмём i -е уравнение с коэффициентом y_i так, чтобы получилось $y^t A \geq c$, тогда из $x \geq 0$ имеем $\langle c, x \rangle \leq \langle y, b \rangle$.

- $Ax \leq b, x \geq 0, \langle c, x \rangle \rightarrow \max$

Возьмём i -е неравенство с коэффициентом $y_i \geq 0$ так, чтобы получилось $y^t A \geq c$, тогда из $x \geq 0$ имеем $\langle c, x \rangle \leq \langle y, b \rangle$.

- $Ax \leq b, \langle c, x \rangle \rightarrow \max$

Возьмём i -е неравенство с коэффициентом $y_i \geq 0$ так, чтобы получилось $y^t A = c$, тогда имеем $\langle c, x \rangle \leq \langle y, b \rangle$.

Теорема 9.1.1. Слабая теорема двойственности: во всех трёх случаях $\min \langle y, b \rangle \geq \max \langle c, x \rangle$.

Теорема 9.1.2. Сильная теорема двойственности: во всех трёх случаях $\min \langle y, b \rangle = \max \langle c, x \rangle$.

Прямая	Двойственная
$\langle c, x \rangle \rightarrow \max, Ax \leq b, x \geq 0$	$\langle b, y \rangle \rightarrow \min, y^t A \geq c, y \geq 0$
$\langle c, x \rangle \rightarrow \max, Ax \leq b$	$\langle b, y \rangle \rightarrow \min, y^t A = c, y \geq 0$
$\langle c, x \rangle \rightarrow \max, Ax = b, x \geq 0$	$\langle b, y \rangle \rightarrow \min, y^t A \geq c$

Замечание 9.1.3. Обозначим за A^* двойственную к задаче A , тогда $A^{**} = A$.

9.2. Доказательство сильной двойственности

Посмотрим внимательно на симплекс-метод, будем тащить за собой решения и прямой, и двойственной задач. Заметим, что (а) симплекс корректен, (б) в конце решения равны.

Подробнее рассмотрим на задаче $Ax = b, x \geq 0, \langle c, x \rangle \rightarrow \max$.

В каждый момент в строке c' хранится $c - \sum y_i a_i$. Здесь a_i — i -я строка A .

Алгоритм завершается, когда $\forall i \ c'_i \leq 0 \Leftrightarrow c - \sum y_i a_i \leq 0 \Leftrightarrow y^t A = \sum y_i a_i \geq c$.

В момент завершения $x^* = (b_1, b_2, \dots, b_m, 0, \dots, 0)$, $y^* = (0, \dots, 0)$. $\langle x^*, c \rangle = 0$, $\langle y^*, b \rangle = 0$.

По слабой теореме двойственности решения x^* и y^* оптимальны.

При переходе (смена базиса) мы $\langle x, c \rangle$ и $\langle y, b \rangle$ меняем на одинаковую величину \Rightarrow у изначальной задачи оба решения оптимальны, и верна 9.1.2. ■

Замечание 9.2.1. Мы научили симплекс искать решения сразу двух задач.

Для этого нужно для каждой строки текущей матрицы A и строки c поддерживать вектор коэффициентов исходной матрицы A . Теперь мы за то же время находим сразу пару (x, y) .

9.3. Целочисленность решения

Def 9.3.1. *Минор матрицы A – определитель квадратной подматрицы A (выбрали произвольное k , k строк и k столбцов матрицы A , получили $B: k \times k$, $\det B$ называется минором A).*

Def 9.3.2. *Унимодулярной называется матрица $A \in \mathbb{Z}^{n \times n}$: $\det A = \pm 1$.*

Lm 9.3.3. Если $A \in \mathbb{Z}^{n \times n}$ унимодулярна, то $\forall b \in \mathbb{Z}^n$ у системы $Ax = b$ $\exists!$ решение x^* и $x^* \in \mathbb{Z}^n$

Доказательство. $\det A \neq 0 \Rightarrow \exists!$. По Крамеру $x_i^* = \frac{\Delta_i}{\det A} \in \mathbb{Z}$. ■

Def 9.3.4. *Тотально унимодулярной (ТУ) называется матрица $A \in \mathbb{Z}^{n \times m}$, если все её миноры принимают значения из $\{0, \pm 1\}$*

Теорема 9.3.5. $Ax = b$, $x \geq 0$, $\langle c, x \rangle \rightarrow \max$, A – ТУ \Rightarrow симплекс найдёт $x \in \mathbb{Z}^n$.

Доказательство. Симплекс находит одну из вершин полиэдра, все вершины есть решения систем $A'x = b'$, где A' – невырожденный набор столбцов A . $\det A' = \pm 1 \Rightarrow x \in \mathbb{Z}^n$. ■

Теорема 9.3.6. $Ax \leq b$, $x \geq 0$, $\langle c, x \rangle \rightarrow \max$, A – ТУ \Rightarrow симплекс найдёт $x \in \mathbb{Z}^n$

Доказательство. Приводя задачу к форме $A'x = b$, мы лишь добавили столбцы, содержащие одну единицу и нули. $\det \begin{bmatrix} a_1 \\ a_2 \\ \dots \\ a_m \end{bmatrix} \bigg| Q = \sum_i (-1)^i a_i Q_i$, где Q_i – минор Q , полученный удалением i -й строки \Rightarrow миноры A' есть (миноры A) $\cdot \pm 1$. ■

9.4. Паросочетания

Вспомним формулировку задачи через линейное программирование.

$$0 \leq x_e, \forall v \sum_{e \in N(v)} x_e \leq 1, \sum_e w_e x_e \rightarrow \max \quad (1)$$

Запишем двойственную.

$$0 \leq y_v, \forall a \xrightarrow{e} b \ y_a + y_b \geq w_e, \sum_v y_v \rightarrow \min \quad (2)$$

Для двудольного графа мы решали эти задачи так:

x найдёт Венгерка, y найдётся из потенциалов Венгерки.

Теперь мы знаем, что задачи связаны сильной теоремой двойственности.

Теорема 9.4.1. Матрица инцидентности I двудольного графа тотально унимодулярна.

Доказательство. Пусть столбцы I – рёбра, строки – вершины. Рассмотрим квадратную подматрицу A матрицы I . Выбранные множества вершин и рёбер обозначим U и X . Если есть столбец из нулей, $\det A = 0$. Если есть столбец из одной единицы, в $\det A$ есть лишь одна ненулевая перестановка... удалим столбец и строку, соответствующую единице.

Остался случай “в каждом столбце ровно 2 единицы” \Rightarrow матрице A соответствует набор циклов. $\det A = \sum_{\pi} (-1)^{\text{sign}(\pi)} \prod a_{i\pi_i}$. Если $\prod a_{i\pi_i} \neq 0 \Rightarrow$ мы каждой вершине из U выбрали ребро из X . Для цикла это можно сделать двумя способами (ориентируем цикл), при этом, если развернуть цикл, для чётного цикла $\text{sign}(\pi)$ поменяется, для нечётного не поменяется.

Итого, если A – чётный цикл, $\det A = 0$, если же A – нечётный цикл, $|\det A| = 2$.

Если A – набор циклов, то $\det A = \prod_i \det C_i$, где C_i – матрица i -го цикла. ■

Замечание 9.4.2. $(A \text{ totally unimodular}) \Leftrightarrow (A^t \text{ totally unimodular})$

Теорема 9.4.3. Симплекс найдёт целочисленное решение для задачи о взвешенном паросочетании в двудольном графе.

Доказательство. Запишем задачу в форму ЛП (1), применим теоремы 9.4.1 и 9.3.6. ■

9.5. Частные случаи ЛП

- **Уравнений больше чем неизвестных**, $Ax = b$, $m > n$

Гаусс уменьшит размер задачи, оставит $m' \leq n$ уравнений и приведёт задачу к начальному виду для симплекса.

- **Есть очень много переменных, нет неотрицательности**, $Ax \leq b$, $m < n$

Во-первых, мы умеем переходить к двойственной задаче $A^t y = c, y \geq 0$.

После транспонирования A мы получаем $m' > n'$ и можем применить предыдущую идею.

Во-вторых, можно Гаусса натравить на столбцы A и сделать их линейно независимыми.

При этом важно что, когда мы находим линейную зависимость столбцов $\sum_j c_{ij} = 0$, если $\sum_j c_{ij} \neq 0$, то $(\exists \text{ решение} \Rightarrow \text{max неограничен})$.

- **Число переменных $\mathcal{O}(1)$**

Тогда есть рандомизированный линейный от m алгоритм для решения задачи ЛП.

9.5.1. Рандомизированный алгоритм пересечения полупространств

Пересекаем k d -мерных полупространств $\sum a_{ij}x_j \leq b_i$. Ищем максимум $\sum x_j c_j$.

Чтобы ограничить ответ, предположим, что он лежит в *bounding box*: $\forall j |x_j| \leq C$.

Изначально берём одну из 2^d вершин куба, на которой достигается максимум.

После этого в порядке `randomShuffle` по одному добавляем полупространства.

```

1 def solve(k, d, halfspaces):
2     p = (0, ..., 0)
3     for v in vertices(±C): #  $\mathcal{O}(2^d)$ 
4         if p*c < v*c:
5             v = p
6     randomShuffle(halfspaces)
7     for i = 1..halfspaces.n:
8         a, b = halfspaces[i]
9         if p*a <= b:
10             continue # точка p оптимальна для первых i-1, лежит во всех i
11             # иначе оптимальная p* обязательно лежит на halfspaces[i]
12             p = solve(i-1, d-1, проекции первых i-1 полупространств на halfspaces[i])

```

Lm 9.5.1. На строку 12 мы попадаем с вероятностью $\frac{d}{i}$.

Доказательство. Оптимальная точка образована пересечением d плоскостей. Как только мы переберём их всех, ответ будет посчитан корректно и в процессе перебора первых i плоскостей уже не поменяется. Значит, событие “мы пересчитываем точку p на i -м шаге” случается iff “на i -й позиции в `halfspaces` лежит одна из тех d плоскостей”. Вероятность этого ровно $\frac{d}{i}$. ■

• Матожидание времени работы

База $d = 1$, пересечь k лучей мы сможем за $\mathcal{O}(k)$. \Rightarrow

Для $d = 2$ получили формулу $T = \sum_i (1 + \frac{2}{i} \cdot i) = 3k$.

По индукции для $\forall d$ получаем $\mathcal{O}(k \cdot d!)$: $T(k, d) = \sum_i (1 + \frac{d}{i} \cdot T(i, d-1)) = \sum_i (1 + \frac{d}{i} \cdot (i \cdot (d-1)!))$.

Замечание 9.5.2. Есть аналогичный алгоритм для пересечения шаров. Тоже за $\mathcal{O}(k \cdot d!)$.

9.6. Матричные игры

• Правила игры

Дана матрица $A \in \mathbb{R}^{n \times m}$.

Первый выбирает строку i , второй столбец j , оба не знают выбор противника.

Результат игры – ячейка a_{ij} . Первый $a_{ij} \rightarrow \max$. Второй $a_{ij} \rightarrow \min$.

• Детерминированные стратегии

При поиске оптимальной стратегии важно зафиксировать пространство решений.

Начнём с простейшего: стратегии первого – $\{i\}$, стратегии второго – $\{j\}$.

На каждую конкретную стратегию есть контрстратегия.

Пример: $\begin{bmatrix} 10 & 1 \\ 2 & 4 \end{bmatrix} \Rightarrow$ первый хочет получить 10, выбирает 1-ю строку, если второй узнает, он подсунет 2-й столбец.

• Осторожная жадная стратегия

Первый игрок гарантирует себе $\max_i (\min_j a_{ij}) = \alpha$. При \forall игре второго он получит $\geq \alpha$.

Второй игрок гарантирует себе $\min_j (\max_i a_{ij}) = \beta$. При \forall игре первого он получит $\leq \beta$.

Пример: $\begin{bmatrix} 10 & 1 \\ 2 & 4 \end{bmatrix} \Rightarrow$ первый гарантирует себе $\alpha = 2$, второй $\beta = 4$.

• Вероятностная стратегия

Введём новое пространство решений.

Def 9.6.1. Вероятностная стратегия 1-го игрока – вероятности строк p_1, \dots, p_n : $\sum p_i = 1$

Def 9.6.2. Стратегия 2-го игрока – вероятности столбцов q_1, \dots, q_m : $\sum q_j = 1$

Если игроки играют несколько раз и каждый раз делают выбор строки/столбца в соответствии со своим вектором вероятностей, у каждой игры будет свой результат, в среднем столько:

Def 9.6.3. Результат игры $F(p, q) = \sum_{ij} p_i a_{ij} q_j$ (матожидание a_{ij}).

Пойдём опять по пути осторожной жадной стратегии.

Первый хочет найти такую стратегию p^* : $\min_q (\sum_{ij} p_i^* a_{ij} q_j) = \min_j (\sum_i p_i^* a_{ij}) \rightarrow \max = \alpha$.

Второй в свою очередь ищет q^* : $\max_i (\sum_j a_{ij} q_j^*) \rightarrow \min = \beta$.

В результате первый гарантирует себе α : $\forall q F(p^*, q) \geq \alpha$, а второй β : $\forall p F(p, q^*) \leq \beta$.

Пример: $\begin{bmatrix} 10 & 1 \\ 2 & 4 \end{bmatrix} \Rightarrow \begin{cases} p = (\frac{2}{11}, \frac{9}{11}), q = (\frac{3}{11}, \frac{8}{11}) \\ \alpha = \min(10p_1 + 2p_2, 1p_1 + 4p_2) = \min(\frac{38}{11}, \frac{38}{11}) = \frac{38}{11} \\ \beta = \min(10q_1 + 1q_2, 2q_1 + 4q_2) = \min(\frac{38}{11}, \frac{38}{11}) = \frac{38}{11} \end{cases}$

Итого, пользуясь вероятностной стратегией, оба игрока гарантируют себе результат $\frac{38}{11} \approx 3.5$.

Теорема 9.6.4. Для \forall матрицы A $\alpha = \beta$

Теорема утверждает, что полученный результат $\sum_{ij} p_i a_{ij} q_j$ оптимален для обоих игроков.

Доказательство. Запишем задачу первого игрока в форме ЛП:

$$\forall j \sum_i p_i a_{ij} \geq t, \quad p_i \geq 0, \quad \sum_i p_i = 1, \quad t \rightarrow \max$$

$$A' = \left[-A^t \mid \begin{matrix} 1_1 \\ \vdots \\ 1_m \end{matrix} \right], \quad A' \cdot \begin{bmatrix} p_1 \\ \vdots \\ p_n \\ t \end{bmatrix} \leq b = \begin{bmatrix} 0_1 \\ \vdots \\ 0_m \end{bmatrix}, \quad c = \begin{bmatrix} 0_1 \\ \vdots \\ 0_n \\ 1 \end{bmatrix}$$

Запишем двойственную задачу. Неравенства умножаем на $q_j \in \mathbb{R}^{\geq 0}$, равенство на $s \in \mathbb{R}$.

Для первых n компонент s получаем неравенство (т.к. $p_i \geq 0$), для последней равенство.

$$\sum_j q_j \cdot 1 = 1, \quad \forall i = 1..n \quad \sum_j q_j \cdot (-a_{ij}) + s \geq 0 \Leftrightarrow \sum_j q_j a_{ij} \leq s$$

$$q_1 b_1 + \dots + q_m b_m + s \cdot 1 = 0 + \dots + 0 + s \rightarrow \min$$

■

Теорема 9.6.5. Равновесие Нэша. \exists стратегии $p^*, q^* : \forall p \ F(p, q^*) \leq F(p^*, q^*), \forall q \ F(p^*, q) \geq F(p^*, q^*)$

“Есть такие вероятностные стратегии для первого и второго игроков, что ни один из них не может улучшить для себя результат игры, изменив только свою стратегию”.

Доказательство: по теореме 9.6.4 подойдут p и q , полученные осторожной жадной стратегией.

■

Замечание 9.6.6. Достижение Джона Нэша в том, что он доказал существование хотя бы одного равновесия для произвольных дискретных некооперативных игр (wiki) для n игроков.

Лекция #10: Факторизация

22 мая 2019

10.1. Метод Крайчика

Как обычно, наша задача – найти любой нетривиальный делитель x .

Метод Ферма: найдём v, u : $v^2 - u^2 = n \Rightarrow v \pm u$ – нетривиальный делитель n .

Обобщим: v, u : $v^2 - u^2 \equiv 0 \pmod n$, $v \pm u \not\equiv 0 \pmod n \Rightarrow \gcd(n, v \pm u)$ – нетривиальный делитель n .

Суть Крайчика: взять $x_i = \lfloor \sqrt{n} \rfloor + i$, $y_i = x_i^2 - n$, найти подмножество y -ков, дающих в произведении точный квадрат, получается $x_{i_1}^2 \cdots x_{i_k}^2 \equiv y_{i_1}^2 \cdots y_{i_k}^2 \pmod n$, применяем Ферма.

Задача: дано множество $\{y_i\}$, найти подмножество, являющееся точным квадратом.

Решение: число является квадратом iff в его факторизации все степени простых чётны \Rightarrow факторизуем y_i , получаем вектора z_i “чётности степеней простых”, находим подмножество векторов z_i , в сумме над \mathbb{F}_2 дающее 0.

Реализация: Гаусс над разреженной матрицей.

Небольшая проблема – мы как раз учимся факторизовать, а тут нужно факторизовать y_i .

Чтобы разрешить эту неловкость, будем брать только b -гладкие y_i .

Def 10.1.1. Число x называется b -гладким, если все простые в разложении x не больше b .

Замечание 10.1.2. b -гладкое число x легко факторизовать за $\mathcal{O}(\frac{b}{\log b} + \log x)$ делений.

• Алгоритм factorize(n)

1. Фиксируем константу k ($b = \text{prime}[k]$).
2. Генерируем числа y_i , сразу факторизуем их за $\mathcal{O}(k + \log y_i)$.
3. Для всех y_i , оказавшихся b -гладкими, скормливаем Гауссу z_i , вектор над \mathbb{F}_2 длины k .
4. Каждый раз, когда Гаусс видит, что очередной вектор – линейная комбинация предыдущих, подставляем в тест Ферма $v = \prod x_{i_j}$ и $u = (\prod y_{i_j})^{1/2}$.

• Время работы

Алгоритм зависнет для простого n и имеет шанс найти делитель для составного n .

При успешном завершении время работы $\mathcal{O}(k^3 + k^2 t + km)$, где t – число запусков теста Ферма, а m – общее число всех y_i .

Чтобы сделать алгоритм конечным и вероятностным, можно скормливать вектора Гауссу с вероятностью $\frac{1}{2}$ и останавливаться после первого же теста Ферма.

Тогда время $\mathcal{O}(k^3 + km)$, и мы верим в оценку на вероятность p : $0 < \varepsilon \leq p \leq 1$.

• Оптимизация

Можно для всех чисел $p_i = \text{prime}[i]$ заранее посчитать r_i : $(\pm r_i)^2 - n \equiv 0 \pmod{p_i}$.

Тогда множество таких j , что $p_i \mid y_j$ равно $\{\pm r_i + k \cdot p_i - \lfloor \sqrt{n} \rfloor \mid k \in \mathbb{Z}\}$. Факторизация:

```
1 for i for j while (p_i | y_j) do { y_j /= p_i; v_j[i]++; }
```

Научились факторизовать все y_j за $\sum_{i=1..k} \frac{m}{i \log i} = \Theta(m \log \log k)$.

Предположим, что $\mathcal{O}(m \log \log k)$ единиц по m векторам распределены равномерно, тогда в выбранных $(k+1)$ -ом векторе будет лишь $\mathcal{O}(k \log \log k)$ не нулей. Можно написать разреженного Гаусса, который хранит в строках лишь списки ненулевых элементов и операции над

строками-списками длин a и b делает за $\mathcal{O}(a+b)$. Можно воспользоваться алгоритмом Видеманна (Wiedemann), который решит систему за $\mathcal{O}(k \cdot z)$, где z – число не нулей в матрице.

Итого время $\mathcal{O}(k^3 + km)$ можно улучшить до $\mathcal{O}((k^2 + m) \log \log k)$.

Чем меньше k , тем больше m . Нужно подобрать $k: k^2 = \Theta(m)$. Это можно сделать, например, последовательным удвоением (`for` $k \in \{1, 2, 4, 8, \dots\}$ `do` запускаем решение для $m = k^2$).

Теорема 10.1.3. Для числа n оптимальное $k = e^{\frac{1}{2}\sqrt{\log n \log \log n}}$

Следствие 10.1.4. Время Крайчика со всеми оптимизациями $T = e^{\sqrt{\log n \log \log n}}$, $\forall \varepsilon > 0 \quad T = o(n^\varepsilon)$.

Замечание 10.1.5. Это первый, изученный нами, субэкспоненциальный алгоритм факторизации.

Раньше мы умели за $\mathcal{O}(n^{1/4})$. Длина ввода есть $l = \log n \Rightarrow$ мы умели только за $\exp(\Theta(l))$.

10.2. Литература

[logic.pdmi.ras]. Слайды от Николенко про Крайчика и Видемана.

[wiki|Wiedemann]. Короткое внятное описание решения системы $Ax = 0$ над \mathbb{F}_p за $\mathcal{O}(n \cdot z)$.

[Pomerance]. Доказательства, связанные с b -гладкими числами и алгоритмом Крайчика.

[Факторизация]. Много про факторизацию на русском. И про Крайчика тоже.

Лекция #11: Планарность

27 мая 2019

11.1. Основные определения и теоремы

Def 11.1.1. *Планарным* (*planar*) называется граф, который может быть изображён на плоскости без пересечения рёбер.

Def 11.1.2. *Плоским* (*plane*) граф – изображение графа на плоскости без пересечений рёбер.

Плоский граф разбивает плоскость на области, которые называются гранями.

Внешней называется грань, содержащая точку на бесконечности.

Теорема 11.1.3. У графа есть укладка на сфере iff граф планарен.

Доказательство. Плоскость гомеоморфна проколотой сфере. Осталось проткнуть сферу. ■

Следствие 11.1.4. Для \forall грани планарного графа есть укладка, в которой именно она внешняя.

Доказательство. Уложим на сфере. Проткнём нужную грань, получилась плоскость. ■

Теорема 11.1.5. Эйлера. Для плоского графа $E + C + 1 = V + G$, где V – число вершин, E – число рёбер, G – число граней, C – число компонент связности.

Доказательство. Индукция: удалим ребро, или увеличилось число граней, или уменьшилось число компонент связности. В конце $C = V$, $G = 1$. ■

Следствие 11.1.6. Для планарных графов $E \leq 3V - 6$, $E = \mathcal{O}(V)$.

Доказательство. У каждой грани хотя бы 3 ребра $\Rightarrow E \geq \frac{3}{2}G \Rightarrow E + 2 \leq V + \frac{2}{3}E$. ■

Упражнение 11.1.7. Покажите, что для двудольных планарных $E \leq 2V - 4$.

Lm 11.1.8. Графы $K_{3,3}$ и K_5 не планарны.

Доказательство. В K_5 вершин 5, рёбер $10 > 3 \cdot 5 - 6$. В $K_{3,3}$ вершин 6, рёбер $9 > 2 \cdot 6 - 4$. ■

Def 11.1.9. *Стягивание графа.* Процесс, в котором каждая операция – удаление вершины, ребра или стягивание двух вершин, соединённых ребром, в одну.

Теорема 11.1.10. Вагнер'1937. Граф планарен iff он не стягивается в $K_{3,3}$ или K_5 .

Теорема 11.1.11. Куратовский'1930. Граф планарен iff он не является подразбиением $K_{3,3}$, K_5 .

Подразбиение – процесс обратный стягиванию, так что теоремы равносильны.

Короткое доказательство теоремы от Скопенкова [\[eng|arxiv\]](#) [\[rus\]](#).

Теорема 11.1.12. Фари'1948. \forall планарный граф можно уложить прямыми отрезками.

Теорема 11.1.13. Schnyder'1989. \forall планарный граф при $V \geq 3$ можно уложить с использованием только прямых отрезков на гриде размера $(V-2) \times (V-2)$. Укладку можно найти за $\mathcal{O}(V)$.

Теорема 11.1.14. Koebe–Andreev–Thurston. [\[wiki\]](#).

Можно нарисовать вершины непересекающимися кругами: ребро \Leftrightarrow круги касаются.

11.2. Алгоритмы проверки на планарность

11.2.1. Исторический экскурс

[tarjan'1974]. Первый линейный алгоритм дан Тарьяном и Хопкрофтом.

Более современные алгоритмы развивались в направлении уменьшения сложности реализации, сложности доказательства, константы времени работы. Среди них можно выделить работы

[boyer'1999]. Boyer, Myrvold: A simplified $O(n)$ planar embedding.

[brandes'2010]. Ulrik Brandes: The Left-Right Planarity Test.

11.2.2. Алгоритм Демукрона

Простейший алгоритм за $O(n^2)$ в худшем, $O(n \log n)$ в среднем при аккуратной реализации.

1. Выделим любой цикл C , уложим. Топологически есть ровно один способ уложить цикл.
2. После удаления рёбер и вершин C оставшиеся рёбра графа делятся на компоненты связности. Два ребра связны, если у них есть общий конец, не являющийся вершиной C .
3. Построим граф противоречий – для каждого двух компонент можно ли их уложить по одну сторону цикла. Время работы $\sum_{ij} (k_i + k_j) = 2m \sum_i k_i \leq 2mE$.
 k_i – число вершин, которыми i -я компоненты зацепляется с циклом, m – число компонент.

TODO Картинка

4. Раскрасим граф противоречий в два цвета за $O(m^2)$.

Если не красится, исходный граф не планарен.

5. Все компоненты укладываем независимо. Если компонента цепляет C не более чем одной вершиной, укладываем независимо от C . Иначе пусть цепляет вершинами a, b , ищем и рисуем любой путь $P: a \rightarrow b$ (топологически это можно сделать единственным образом). Оставшиеся рёбра компоненты делятся на подкомпоненты относительно P . $C \cup P$ образуют два цикла C_1 и C_2 , каждая подкомпонента лежит в одном из них. Переходим к (3), не забываем, что про подкомпоненты, цепляющие $C \setminus P$ заранее известно в C_1 или C_2 они должны лежать.

Время работы: $T(E) = O(E) + O(mE) + T(e_1) + \dots + T(e_m) = O(E^2) = O(V^2)$, $e_1 + \dots + e_m \leq E$.

11.3. Алгоритмы отрисовки графа прямыми отрезками

Пусть у нас уже есть укладка графа.

Можно триангулировать граф: в грань из k вершин добавляем или $k - 3$ диагонали, или вершину-центр и k рёбер в центр.

Lm 11.3.1. Если все грани связного планарного графа – треугольники, граф трёхсвязен.

Доказательство. Пусть есть разрез $\{a, b\}$, удалим a и b , получим две компоненты связности G_1, G_2 . Уложим графы $G_1 + a + b + (a, b)$ и $G_2 + a + b + (a, b)$ так, чтобы ребро (a, b) лежало на внешней грани. Соединим укладки. Получим внешнюю грань из ≥ 4 вершин. Противоречие. ■

Теорема 11.3.2. Tutte'1963. Spring Theorem. Для \forall трёхсвязного планарного графа.

Зафиксируем любую грань внешней, уложим её в виде выпуклого многоугольника.

Тогда остальная часть графа однозначно укладывается на плоскость таким образом, что каждая грань – выпуклый многоугольник, а любая внутренняя вершина – центр масс соседей.

• Алгоритм отрисовки графа прямыми отрезками

0. Вход: список рёбер. Выход: координаты вершин.
1. Укладываем граф Демукроном, получаем грани.
2. Триангулируем граф: в каждую грань добавляем центр и рёбра в центр.
3. Выбираем \forall грань- Δ , называем внешней, укладываем как $\Delta (-1, -1), (1, -1), (0, 2)$.
4. Записываем систему уравнений из 11.3.2.
5. Устанавливаем координаты всех остальных вершин $(0, 0)$, решаем систему методом итераций.
6. Удаляем лишние рёбра, добавленные в (2).

Замечание 11.3.3. Если изначально граф уже трёхсвязен, можно пропустить (1), (2), (6).
Внешней гранью тогда можно выбрать, например, кратчайший цикл.

11.4. Планарный сепаратор

[lipton'1977]. Почти сразу после успешной проверки на планарность и укладки графа Тарьян и Липтон показали, что в \forall планарном графе за $\mathcal{O}(n)$ можно найти сепаратор размера $2\sqrt{2}\sqrt{n}$.

Def 11.4.1. S – сепаратор графа $G = \langle V, E \rangle$, если
 $V = A \sqcup B \sqcup S$: $\max(|A|, |B|) \leq \frac{2}{3}n$, $n = |V|$, между A и B нет рёбер.

Lm 11.4.2. Если при удалении S все компоненты связности имеют размер $\leq \frac{2}{3}n$, S – сепаратор.

Доказательство. Жадно набираем множества A и B . Просматриваем компоненты от большей к меньшей, кидаем очередную компоненту в меньшее из A, B . ■

Lm 11.4.3. В планарном графе есть остов высоты $h \Rightarrow$ есть A : $|A| \leq 2h$, $A \cup \{root\}$ – сепаратор.

Доказательство. Триангулируем граф.

Каждое ребро e не из остова образует цикл, который делит множество вершин на A “внутри”, B “снаружи”. Выберем $e(u, v)$: $\max(|A|, |B|) \rightarrow \min = m$. Пусть $m > \frac{2}{3}n$. Пусть большая часть внутри цикла. Ребро e смежно двум граням-треугольникам. Возьмём тот, что внутри цикла, пусть его третья вершина x . Рассмотрим случаи – какие из рёбер $(u, x), (v, x)$ лежат на цикле. В самом интересном “оба не лежат” покажем, что у одного из рёбер $(u, x), (v, x)$ величина $\max(|A|, |B|)$ меньше. Противоречие. ■

Теорема 11.4.4. Тарьян-Липтон. В \forall планарном графе $G \exists$ сепаратор S : $|S| \leq 2\sqrt{2}\sqrt{n}$.

Доказательство. Запустим bfs из любой вершины v , получим слои по расстоянию до v – L_0, L_1, \dots, L_d . Найдём i : $|L_0 \cup \dots \cup L_{i-1}| \leq \frac{n}{2}$, $|L_0 \cup \dots \cup L_i| > \frac{n}{2}$.

Если бы $|L_i| \leq f(n)$, счастье уже наступило бы. Но нет \Rightarrow

Ищем $j_0 < i$: $|L_{j_0}| + 2(i - j_0 - 1) \leq 2\sqrt{k}$, где $k = |L_0| + \dots + |L_{i-1}|$.

Пусть $\nexists j_0 \Rightarrow |L_{i-1}| > \sqrt{k}$, $|L_{i-2}| > \sqrt{k} - 2, \dots \Rightarrow |L_0| + \dots + |L_{i-1}| > k$. Противоречие.

Аналогично ищем $j_1 \geq i$: $|L_{j_1}| + 2(j_1 - i) \leq 2\sqrt{n-k}$.

Пусть $\nexists j_1 \Rightarrow |L_i| > \sqrt{n-k}$, $|L_{i+1}| > \sqrt{n-k} - 2, \dots \Rightarrow |L_i| + \dots + |L_n| > n-k$. Противоречие.

Максимум величины $|L_{j_0}| + |L_{j_1}| + 2(j_1 - j_0 + 1)$ достигается при $k = \frac{n}{2}$ и равен $2\sqrt{2}\sqrt{n}$.

Обозначим $L_a \cup L_{a+1} \cup \dots \cup L_b$, как $L[a, b]$.

Множество $S_1 = L_{j_0} \sqcup L_{j_1}$ делит граф на 3 части: $A = L[0, j_0 - 1]$, $B = L[j_0 + 1, j_1 - 1]$, $C = L[j_1 + 1, n]$.

$|A|, |C| \leq \frac{n}{2} \Rightarrow$ если $|B| \leq \frac{2n}{3}$, вернём сепаратор S_1 .

Иначе рассмотрим граф $G' = L[j_0, j_1 - 1] / L_{j_0}$ (стянули L_{j_0} в одну вершину).

В G' остовное дерево bfs имеет высоту $j_1 - j_0 \xrightarrow{11.4.3} \exists$ сепаратор $X \cup \{root\} = X \cup L_{j_0}$: $|X| \leq 2(j_1 - j_0)$.

Итого $|(L_{j_0} \sqcup L_{j_1}) \cup X| \leq 2\sqrt{2}\sqrt{n}$ и является планарным сепаратором. ■

Замечание 11.4.5. В доказательстве теоремы планарность мы пользуемся только в лемме 11.4.3.

Замечание 11.4.6. [holzer'2009]. В журнале по экспериментальным алгоритмам говорят, что если оставить только последнюю часть алгоритм “*взять циклы, образованные не древесными рёбрами триангуляции*”, то лучший из рассмотренных циклов на большинстве графов даст оценки лучше чем в теореме.

11.4.1. Решение NP-трудных задач на планарных графах

Lm 11.4.7. В \forall планарном графе есть множество вершин S размера $\Theta(\sqrt{n})$: $V = A \sqcup B \sqcup S$, $\max(|A|, |B|) \leq \frac{n}{2}$, между A и B нет рёбер.

Доказательство. У нас есть две корзины $A, B = \emptyset$ и множество $X = V$. В каждый момент времени $\max(|A|, |B|) \leq \frac{n}{2}$. Пока $\min(|A|, |B|) + |X| > \frac{n}{2}$ делим X его сепаратором на Y и Z , к меньшему из A и B добавляем меньшее из Y и Z , большее из Y и Z кладём в X .

Оценим суммарный размер сепараторов: $2\sqrt{2}(\sqrt{n} + \sqrt{\frac{2}{3}n} + \sqrt{\frac{4}{9}n} + \dots) = \frac{2\sqrt{2}}{1-\sqrt{2/3}}\sqrt{n}$. ■

• **Поиск max IS в планарном графе за $2^{\Theta(n)}$.**

Разделяй и властвуй. Выделим по лемме $(\frac{n}{2}, \frac{n}{2})$ -сепаратор S .

Переберём $2^{|S|}$ вариантов, какие вершины сепаратора лежат в независимом множестве.

Для каждого из $2^{|S|}$ вариантов сделаем два рекурсивных вызова от половин.

Итого $T(n) \leq 2 \cdot 2^{C\sqrt{n}} \cdot T(n/2) \leq 2 \cdot 2^{C\sqrt{n}} \cdot 2 \cdot 2^{C\sqrt{n/2}} \cdot 2 \cdot 2^{C\sqrt{n/4}} \dots = 2^{\Theta(\sqrt{n})}$.

• **Раскраска в k цветов планарного графа за $2^{\Theta(n \log k)}$.**

Аналогично: переберём все $k^{|S|}$ раскрасок вершин сепаратора.

Замечание 11.4.8. Научившись искать ещё меньший сепаратор, мы ускорим решение многих NP-трудных задач. К сожалению, для планарных графов оценка $\Theta(\sqrt{n})$ достигается: грид $\sqrt{n} \times \sqrt{n}$.

11.5. Системы уравнений

11.5.1. k -диагональная матрица

Если запустить обычного Гаусса, учитывающего, что строки – отрезки длины не более $2k$, автоматически получится решение за $\mathcal{O}(k^2 n)$. В частности метод для трёхдиагональной матрицы делает то же и работает за $\mathcal{O}(n)$.

Аналогично для верхнетреугольной матрицы + k диагоналей Гаусс будет работать за $\mathcal{O}(kn^2)$.

11.5.2. Правило Кирхгофа

Рассмотрим задачу нахождения сопротивления между вершинами a и b в неорграфе, где у каждого ребра e есть сопротивление R_e .

Для всех вершин v обозначим потенциал вершины $u[v]$. Пусть $u[a] = 0$, $u[b] = 1$. Сила тока $I_{e: a \rightarrow b} = \frac{u[b] - u[a]}{R_e}$. Правило Кирхгофа гласит “в каждую вершину втекает тока ровно столько, сколько вытекает”, т.е. $\forall v \neq a, b \sum_{e: v \rightarrow x} I_e = \sum_{e: v \rightarrow x} \frac{u[v] - u[x]}{R_e} = 0 \Leftrightarrow (\sum_e \frac{1}{R_e})u[v] = \sum_e \frac{1}{R_e}u[x]$.

Получили систему линейных уравнений над $u[v]$. Её можно решить Гауссом за $\mathcal{O}(V^3)$.

Если схема задаётся планарным графом, то есть сепаратор размера $\mathcal{O}(V^{1/2}) \Rightarrow$

систему можно решить за $\mathcal{O}(V^{3/2})$ используя **nested dissection**. Подробно в [tarjan'1986].

11.6. Выделение граней плоского графа

• Задача

Даны координаты вершин плоского графа, уложенного прямыми отрезками.
Выделить грани графа.

• Решение за $\mathcal{O}(\text{sort} + V)$

Для каждого ребра $e(a, b)$ создадим две ориентированные копии $e_1: a \rightarrow b$, $e_2: b \rightarrow a$.

Проставим $\text{rev}[e_1] = e_2, \text{rev}[e_2] = e_1$. Добавим рёбра в списки смежности $g[a].\text{add}(e_1), g[b].\text{add}(e_2)$.

Для каждой вершины v отсортируем $g[v]$ по углу. Сохраним позиции рёбер в списках смежности:

```

1 for v=1..V:
2     for i=0..g[v].size-1:
3         index[g[v][i]] = i
4 def next(e): # e: a -> b
5     return g[a[e]][(index[e] + 1) % g[a[e]].size]
```

Тогда для каждого ориентированного ребра e следующим в грани будет $f_e = \text{next}(\text{rev}[e])$.

Граф $e \rightarrow f_e$ – ровно набор ориентированных циклов, осталось их выделить.

Замечание 11.6.1. Все грани кроме внешней будут ориентированы по часовой стрелке.

11.7. Литература

[Luca Vismara | graphbook]. Подробно про отрисовку графов.

[thomassen'2004]. Доказательство пружинной теоремы Татта, её физическое понимание.

[tarjan'1986]. Гаусс для планарных графов за $n^{3/2}$ и не только.

[tarjan'1977]. Существование и построение за $\mathcal{O}(n)$ планарного сепаратора.

[skopenkov]. Доказательство теоремы Куратовского.

[boyer'1999]. Короткий (2.5 страниц в 2 столбца) алгоритм проверки на планарность за $\mathcal{O}(n)$.